

PYOA

$\text{PbO}_2(\text{Km})$

The

1.2  
°

Freshley, Mattys  
(cover a rose ket)

T=2553 K

1945

PuO<sub>2</sub>

Phipps T.E., Seifert R.L., Simpson D.C.  
CN-3223 (Zel) (1945).

? Mixed with deceptions; 209 (1957)

P

U<sub>3</sub>N<sub>4</sub>H<sub>2</sub>O<sub>2</sub> Gaberrel's map of Pu

& PuO<sub>2</sub> compounds (Pu, F<sub>3</sub>, PuCl<sub>3</sub>, PuBr<sub>3</sub>,

PtO<sub>2</sub>

(Act. Pu) I

⊗

VIII 1000

1949

PuD<sub>2</sub>, PuCl<sub>3</sub>, PuOCl (K)

Abraham B.M., Brody B.B.,

Davidson N.R., Hagemann F.

Karle J., Katz J.J., Wolf M.J.

Nat. Nuclear Energy Ser., Div. IV, 14B,

Transuranium Elements, 1949, part I,

740-758

U, B, g<sub>4</sub>

CA, 1950, 3389c

VIII 100-1

1949

PuO<sub>2</sub>, PuOCl (K)

Abraham B.M., Davidson N.R.,  
Nat. Nuclear Energy Ser., Div. IV,

14B, Transuranium Elements,

1949, pt. I, 779-783

M. B. Lij

CA, 1950, 44, 3825c

VIII 1343

1949

PuBr<sub>3</sub>, PuD<sub>2</sub>, PuDBr (K)

Davidson N.R., Hagemann F.

Hyde E.K., Katz J.J., Sheff J.,

Nat. Nuclear Energy Ser., Div. IV, 14B,  
Transuranium Elements, 1949, Pt. I,

759-774

M, 94

CA, 1950, 44, 3388i

1949

Ce<sup>4+</sup>, Cr<sup>5+</sup>(<sub>δ</sub>Hf), Pu<sup>3+</sup>,  
PuO<sub>2</sub><sup>2+</sup>, Pu<sup>4+</sup>, Fe<sup>2+</sup>, Fe<sup>3+</sup> (<sub>δ</sub>H, S)

VI-1100

Evans M.V.

Nafl. Nuclear Energy Ser., Div. IV, 14B,  
Transuranium Elements, 1949, Pt I, 282-94.

Heats and entropies of Pu(III), Pu(IV), and  
Pu(VI) in 0,% M perchloric acid at 25°.

	EOTB	Φ. H.
Est/F.		

CA., 1951, 1414h

w,

VIII -4810

1949

PuO<sub>2</sub><sup>2+</sup>, Pu<sup>3+</sup>, Pu<sup>4+</sup> (p-p, Hee, HeeD<sub>4</sub>)  
(E°; K<sub>p</sub>)

Kasha M.

Nat. Nuclear Energie. Ser.

1949, IV-118, 295

B

VIII - 1916

1949

PuO<sub>2</sub><sup>2+</sup>, Pu<sup>3+</sup>, Pu<sup>4+</sup> (p-p, HCl, HClO<sub>4</sub>)  
(E°, K<sub>p</sub>)

Kasha M., Sheline G.E.,  
Nat. Nuclear Energie Ser.,  
1949, IV-14B, 180

B

VIII 1730 1949

PuO<sub>2</sub><sup>++</sup> (Kaq)

Kraus K.A., Dam J.R.,

Natl. Nuclear Energy Ser., Div. IV, 14B,

Transuranium Elements, 1949, Pt. I, 478-499

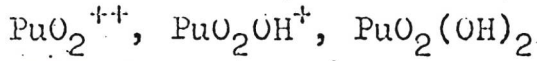
Hydrolytic behavior of plutonium (V)

Acid constant of plutonyl ion

CA, 1950, 44, 6324d

VIII 1731

1949



( K )

Kraus K.A., Dam J.R.,

Natl. Nuclear Energy Ser., Div. IV, 14B,

Transuranium Elements, 1949, Pt. I, 528-549

Hydrolytic behavior of plutonium ( VI )

Acid-base titrations of plutonium ( VI )

CA, 1950, 44, 6324g

See

VIII 3172 1949

PuO<sub>2</sub> ( p )

Phipps T.E., Sears G.W., Simpson O.C.,  
Natl. Nuclear Energy Ser., Div. IV, 14B,  
Transuranium Elements, 1949, Pt.I.,  
704-723

The volatility of plutonium dioxide

CA, 1950, 44, 8274f

5

VIII 3173

1950

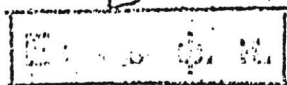
PuO<sub>2</sub> ( p )

Phipps T.E., Sears G.W., Simpson O.C.,  
J. Chem. Phys., 1950, 18, 724-734

The volatility of plutonium dioxide

CA, 1950, 44, 10560f

B



VIII - 4789

1953

$P_4O_2^{2+}$ ,  $P_4^{3+}$ ,  $P_4^{4+}$ ,  $P_4Cl^{2+}$  ( $p-p; H_2O$ ) ( $k_p, E$ )

Connick R.E., McVey W.H.,

J. Amer. Chem. Soc., 1953, 75, 474.

5

B.

39- VIII 3132

1953

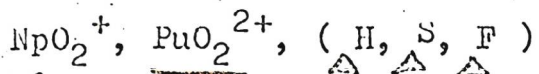
$\text{ThO}_2$ ,  $\text{PaO}_2$ ,  $\text{PuO}_2$ ,  $\text{AmO}_2$ ,  $\text{CmO}_2$ ,  
 $\text{NpO}_2$ ,  $\text{UO}_2$ ,  $\text{BxO}_2$ ,  $\text{ CfO}_2$  (S, G, H)

Osborne D. W., Westrum E. J.,  
J. Chem. Phys., 1953, 21, 1884-1884

II, 5

Pyex, 1955, N12, 23239

VIII 1855 1953



Magnesser T.B., Neideng J.R.

J. Amer. Chem. Soc., 1953, 75, 2242-6

Stabilities of 4+ and 5+ oxidation states of  
the actinide elements- the Np(IV)-Np(V)  
couple, in perchloric acid solution

CA, 1953, B480f

B

VIII 1999

1953

Pu<sup>3+</sup>, Pu<sup>4+</sup>, PuO<sub>2</sub><sup>2+</sup>, PuCl<sup>3+</sup>.  
(ΔF, ΔH, ΔS, K<sub>p</sub>)

Rabideau S.W., Cowan H.D.,

J. Amer. Chem. Soc., 1953, 77, n<sup>o</sup> 23,  
6145 - 6148.

B. Jy

Préc., 1956, n<sup>o</sup> 22, 71107

VIII 1995

1953

Pu<sup>4+</sup>, Pu<sup>3+</sup>, PuO<sub>2</sub><sup>2+</sup> (Kc)

Rabideau S.W.,

J. Amer. Chem. Soc., 1953, 75, N 4, 798-801

Equilibria and reaction rates in the  
disproportionation of Pu (IV)

PG 1955, N 10, 18346

Dis

A-1388

1955

Гаитогениды и гаитогенины.

Ac, Th, U, Np, Pu, Am, La, Ce, Pr, Nd

Ионы  $\text{Ac}, \text{Th}, \text{U}, \text{Np}, \text{Pu}, \text{Am}, \text{La}$ ;  $\text{Ce}, \text{Pr}, \text{Nd}$

( $\Delta \text{Hf}$ )  
( $\Delta \text{Hag}$ )

Серебренников В.В., Серебренникова И.А.,

Учен. Зап. Ташкентского Ун-та;

1955, № 26, 9-15

M, B

РНЭХ, 1957, 14629

VIII 1956

1956

$\text{PuO}_2^+$ ,  $\text{PuO}_2^{2+}$  ( $\Delta F, \Delta H, \Delta S, K_p$ )  
 $\overline{\text{Pu}^{3+}, \text{Pu}^{4+}}$  ( $K_p$ )

Rabideau S.W.

J. Amer. Chem. Soc., 1956, 78, 2705-2707

M. Iy

Prix, 1957, 40750

Pu Oz

VII 3945  
— 1957

Dresserwood J. L. Welch G. A.  
J. Chem. Soc., 1957, Dec.  
4481-4485



Петров М.И. 1957-

PuO<sub>2</sub>

Убайдов М.И.

Амойкин. Докторид. 1957,

X 4, 360 - 363 (439,?)

Гематома с приставкой

Skop.

- 2542-III  
B.P.

PuO<sub>2</sub> и U<sub>3</sub>O<sub>8</sub>

X- 58-1-349



VIII 2678

$Pu^{4+}$ ;  $Pu^{3+}$ ;  $PuO_2^{2+}$

1958

Артюхин П.И., Гельман А.Д., Медведовский  
В.Н.,

докл. АН СССР, 1958, 120, № I, 98-100

Исследование окислительно-восстановительных  
потенциалов плутония в азотной кислоте

РХХим., 1958, № 24, 80837

Яц

$PuO_2$   
2684

Holley, C.E., Malford R.N.R.  
~~Ellinger~~ Huber E.J., Head E.L.  
Ellinger F.H., Björklund C.W.

Egorov M.E.

"Proc. 2nd Int. Conf. Peaceful  
Uses At. Energy, Geneva," 1958,  
p. 215

203

~~203 203~~. Proc.  
Geneva, 1958 (yano Heybeliada)

•  $\Delta fH^\circ(PuO_2, K)$

VIII 2000 1958

Pu<sup>3+</sup>, PuO<sub>2</sub><sup>2+</sup>, Pu<sup>4+</sup>, PuO<sub>2</sub><sup>+</sup> (K<sub>p</sub>, ΔF, ΔH, ΔS)

Rabideau, S.W., Kline, R.J.,

J. Phys. Chem., 1958, 62, 617-620

M.B.

PRER, 1958, n24, 80709

PuO<sub>2</sub>

B9-984-VII

1959

Livey D.T.

(ΔGf)

J. Less-Common  
Metals, 1959, 1 N2

● 145-51.

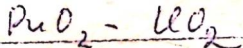
$\text{PuO}_2$

Pijanowski S.W., Zielinska L.S.  
U.S.A.E.C., KAPL-1957, 1960

1960

$$\bar{T}_m = 2569 \pm 30 \text{ K}$$

Torze stabilne i częściowe



$\text{PuO}_2$  (km)

1360

$T_{\text{m}} = 2559 \pm 30 \text{ K}$  ( $2296^\circ\text{C}$ )

Pijanowski S.W., De Luca L.S.,  
1960. Tech. Rep. KAPZ-1957

Бүрэ нийгээ

$$T_{\text{m}} = (2569 \pm 30) \text{ K}$$

сурвай [TS-80]

$$T_{\text{m}} = (2586 \pm 30) \text{ K} \text{ (барууслын He)}$$

1961

SP - VIII - 1941

PuO<sub>2</sub>P(atm)

## 4477 THE VOLATILITY OF PLUTONIUM OXIDE.

R. N. R. Mulford and L. E. Lamar (Los Alamos Scientific Lab., N. Mex.). p.411-21 of "Plutonium 1960." London, Cleaver-Hume Press Ltd., 1961. (In English)

The volatility of PuO<sub>2</sub> was measured by the Knudsen effusion technique. It was shown that PuO<sub>2</sub> is the congruently vaporizing solid in the system. Assuming that PuO<sub>2</sub> molecules are the predominant gaseous species over solid PuO<sub>2</sub>, the vapor pressure is given by  $\log p \text{ (atm)} = -29240/T + 8.072$  in the range 2000 to 2400°K. The dissociation energy of PuO<sub>2</sub> is estimated to be 13.5 ev at 0°K.  
(auth)

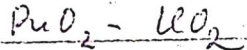
N.S.A. 1962, 16, 4.

$\text{PuO}_2$

Pijanowski S.W., Delleca L.S.  
U.S.A.E.C., KAPL-1957, 1960

$$\bar{T} = 2569 \pm 30 \text{ K}$$

Torzei. Naukowe "B" czerwone



$\text{PuO}_2$  ( $\text{km}$ )

1360

$T_{\text{m}} = 2559 \pm 30 \text{ K}$  ( $2296^\circ\text{C}$ )

Pijanowski S.W., De Luca L.S.,  
1960. Tech. Rep. KAPL-1957.

Буме кадене

$$T_{\text{me}} = (2569 \pm 30) \text{ K}$$

сгруп [TS-80]

$$T_{\text{me}} = (2586 \pm 30) \text{ K} \text{ (базовете He)}$$

1960

Fys. Rouf R.B.

PuO<sub>2</sub>

7. Nucl. Mater., 1960. L, N<sub>1</sub>,

39-42.

Экспериментальные

Характеристика изменение характеристик  
T-pa Debar температуры PuO<sub>2</sub>.

D<sub>2</sub>

(расление радиоактивных  
изотопов)

6 x-60-23-91500

$\text{PuO}_2(\text{n},\text{n})$   
 $T_{\text{mu}} = 2673 \text{ K}$

1360

Russel L.E.

1960. in Plutonium 1960, Proc.  
2nd. Int. Conf. Plutonium; Metall  
Grenoble France 1960, Discussion  
notes on page 492.

$T_{\text{ref}} = 2643 \text{ K} (6 \text{ Hz})$

конфигурация кет в тиофеноле

$\text{PuO}_2(\text{x}, \text{m})$

$T_{\text{hd.}} = 2553 \pm 30 \text{ K}$

Chikalla T.-D.

1961. Tech. Rep. HW-69832,

Hanford (USA)

1961

Являється, що  $P_{eD_2}$  несе  
занадто великі вимоги та не використа-  
є гі-тиук механізм.

Будь лагу, що одеса несе  
кошмар  $O/Pu$  під час 1,62 ковел  
реактора в атмосфері ун. звіс  
будь лагу  $T_m = (2553 \pm 30)K$   
цире [TS80]  $T_m = (2556 \pm 30)K$   
 (в атмосфері He)

$\text{PuO}_2$

1961

Chikalla T.D.  
U.S. At. Energy Comm. H.W.-69832, 23 (1961)

$T_m$

Liquidus for the system  $\text{UC}_2\text{-PuO}_2$

$(\text{Cer. } \text{UO}_2) \text{ I}$

1961

PuO<sub>2</sub>

) A note on the structural stability of plutonium dioxide. T. D. Chikalla (Gen. Elec. Co., Richland, Wash.). *U.S. At. Energy Comm.* HW-71887, 20 pp.(1961). Robert's calcns. on the thermodynamics of PuO<sub>2</sub> redn. were extended. A table of O pressures for various atms. was presented. O partial pressures, the redn. of PuO<sub>2</sub> in H, and vacuum redn. are discussed. Data are given on the crystallographic stability of PuO<sub>2</sub>. From *Nucl. Sci. Abstr.* 16(18), Abstr. No. 9200(1962).

TCNG

C.A. 1963. 59.10  
08369

VIII 1589  
1961

Pu ( $H_c$ );  $PuO_2$  ( $\Delta H_f$ ,  $\Delta F_f$ )

Holley C.E., Jr., Mulford R.N.R., Huber E.J.,  
Head E.L., Ellinger F.H., Bjorklund C.W.,  
Progr. Nucl. Energy, 1961, Ser 5, 3, 128-138

Thermodynamics and phase relationships for  
plutonium oxides

Monograph

PCN 1962, 4U65

M

P40<sub>2</sub>

4102

Russel L. E.

1961

Specimen

Inv:

~~Placitorium~~ Placitorium 1960,

E. Grigson, W. Lord,

R. Fowler, eds.) Cleaver

Hume Ltd., London, 1961

[81]

Paleo Itineris

Tm

p. 492

1961

PuO<sub>2</sub>

6049 (TID-15183). HEAT CAPACITY OF PLUTONIUM DIOXIDE BELOW 320°K. Thomas A. Sandenaw (Los Alamos Scientific Lab., N. Mex.). [1961]. Contract [W-7405-eng-36]. 25p. (LADC-5260)

Cp

The low temperature heat capacity behavior of PuO<sub>2</sub> was found to be anomalous and irreproducible, changing slightly after every one of 7 liquid He coolings. Data obtained from a second series of liquid He coolings, made after refiring 3 or 4 original PuO<sub>2</sub> wafers in air, were consistent with the last run of the first series. The final low temperature heat capacity vs temperature curve was more like that reported for ThO<sub>2</sub> than it was for similar curves reported for UO<sub>2</sub> and NpO<sub>2</sub>. Least-squares equations relating heat capacity and temperature are given for 3 temperature regions. Calculated values of the energy density of states and  $\theta_D$  are shown and values of entropy and enthalpy are listed for several temperatures. (auth)

NSA - 1963 - 14 - 5

$\text{PuO}_2$

U, Th, Pu - vaporization [1962]

Ackermann R.J. Thorn R.J.

Preprint SM-26/47, 29 (1962).

Vaporization properties of  
Th, U, Pu metals and oxides

(cont. Th) I

*PuO<sub>2</sub>* 1969  
30780 (BMI-X-170(Del.)) PROPERTIES OF PuO<sub>2</sub> AND  
PuO<sub>2</sub>-ThO<sub>2</sub> CERAMICS. Stan J. Paprocki, Donald L.  
Keller, Carl A. Alexander, and William M. Pirdue (Bat-  
telle Memorial Inst., Columbus, Ohio). June 30, 1961.  
Decl. with deletions Jan. 15, 1962. Contract [W-7405-eng-  
92]. 38p.

*R-263*  
Procedures for the preparation of sintered bodies of PuO<sub>2</sub> and solid solutions of PuO<sub>2</sub> with ThO<sub>2</sub> were developed. The PuO<sub>2</sub>-ThO<sub>2</sub> ceramics contained from 30 to 70 wt % PuO<sub>2</sub>. Volatility determinations of PuO<sub>2</sub> were performed in air, argon, and oxygen using a transpiration vapor pressure technique. PuO<sub>2</sub>-ThO<sub>2</sub> solid solutions were formed by sintering for 3½ hr at 1650 or 1725°C in argon. Sintering in hydrogen under the same conditions resulted in reduction of some PuO<sub>2</sub> to Pu<sub>2</sub>O<sub>3</sub>. PuO<sub>2</sub> is considered stable under oxidizing and neutral conditions. All indications are that PuO<sub>2</sub> vaporizes congruently and has a vapor pressure in air of approximately 10<sup>-7</sup> atm at 2000°K (1730°C). The addition of ThO<sub>2</sub> is expected to increase the melting point of the mixture over that of pure PuO<sub>2</sub>. (auth)

MSA-1962-16-22

VIII 1019

1962

U, Th, Pu, ThO<sub>2</sub>, ThO<sub>3</sub>, UO<sub>2</sub>, UO<sub>3</sub>,  
PuO<sub>2</sub>, PuO<sub>3</sub>, Pu<sub>2</sub>O<sub>3</sub> (ΔH<sub>s</sub>, ΔS<sub>s</sub>, P, ΔT<sub>f</sub>)

Ackermann R.J.; Thorn R.J.,

Thermodynamic nuclear material.

Vienna. 1962, 445-462 (Pub. 1963)

Б, М.

Ph.D. Thesis, 1963, 41198

$PuO_2$   
1832

Chikalla T.D., 1962  
Mc Neilly C.E.,  
Skardahl R.E. ~~rept H.W.~~

August

U.S General Electric Co. 74802  
Hanford Atomic Products  
Operation, Richland, Wash.  
Sept., 1962, Contract

[9]

~~AT (45+) - 1350, 36 sp.~~  
 $PuO_2(k, no)$   $T_m$

Pu O<sub>2</sub>; UO<sub>2</sub> · PuO<sub>2</sub>; VIII 4357 1962

Cr str.

Russell L.E., Brett N.H., Harrison J.D.L., Williams J., "J. Nucl. Mater.", 1962, 5, N2, 216-227

Observations on phase equilibria  
and sintering behaviour in the

PuO<sub>2</sub> - UO<sub>2</sub> system

px, 1963

N 25.382

Mel.

PuO<sub>2</sub>

28914 (BMI-1591) THE VOLATILITY OF PuO<sub>2</sub> IN  
NONREDUCING ATMOSPHERES. Stan J. Paprocki, Don-  
ald L. Keller, Carl A. Alexander, and William M. Pardue  
(Battelle Memorial Inst., Columbus, Ohio). Aug. 16, 1962.  
Contract W-7405-Eng-92. 16p.

1962

*Pabst*  
*ΔG<sub>f</sub>(w)*

The vapor pressure of plutonium dioxide (PuO<sub>2</sub>) was investigated in the temperature range 1450 to 1775°C (1723 to 2048°K) in air, argon, and oxygen atmospheres by a transpiration technique. Data and thermodynamic calculations showed that PuO<sub>2</sub> can vaporize congruently or as a suboxide species, probably PuO, depending on the atmosphere. The  $\Delta H_{298}^{\circ}$  for vaporization in 1 atm of oxygen is 153,800 cal per mole. The standard free energy of formation ( $\Delta G_f^{\circ}$ ) of gaseous PuO<sub>2</sub> is  $-121,000 + 10.7T$  from 1227 to 1827°C (1500 to 2100°K). The calculated erosion loss is approximately 3 mils per yr at 1705°C (1978°K). (auth)

NSA. 1962. 16. 21

PuO<sub>2</sub>

35688 (LADC-5555) HEAT CAPACITY OF PLUTO-  
NIUM DIOXIDE BELOW 325°K. Thomas A. Sandenaw  
(Los Alamos Scientific Lab., N. Mex.). [1962]. Contract  
[W-7405-eng-36]. 25p.

C<sub>p</sub>

The low-temperature heat capacity behavior of PuO<sub>2</sub> was found to be anomalous and irreproducible, changing slightly after every one of seven liquid helium coolings. Data obtained from a second series of liquid helium coolings, made after refiring three of four original PuO<sub>2</sub> wafers in air, were consistent with the last run of the first series. The final low-temperature heat capacity vs temperature curve was more like that reported for ThO<sub>2</sub> than it was for similar curves reported for UO<sub>2</sub> and NpO<sub>2</sub>. A least squares equation relating heat capacity and temperature is given for the low-temperature region. Values of heat capacity, entropy, and enthalpy are listed for several temperatures. (auth)

1962

NSA-1963-17-21

1962

PuO<sub>2</sub>Volatility of plutonium dioxide in nonreducing atmos-

pheres. Stan J. Paprocki, Donald L. Keller, Carl A. Alexander, and William M. Pardue (Battelle Mem. Inst., Columbus, Ohio). U. S. Atomic Energy Comm. BMI-1591, 14 pp. (1962). The vapor pressure of PuO<sub>2</sub> was investigated in the temp. range 1450–1775° in air, Ar, and O atm. by a transpiration technique. Data and thermodynamic calcs. show that PuO<sub>2</sub> can vaporize congruently or as a suboxide species (probably PuO), depending on the atm.  $\Delta H_{298}^{\circ}$  for vaporization in 1 atm. of O is 153,800 cal./mole. The standard free energy of formation ( $\Delta G^{\circ}$ ) of gaseous PuO<sub>2</sub> is  $-121,000 + 10.7T$  cal./mole from 1227 to 1827°. The volatility of Pu under oxidizing-to-neutral conditions leads to an erosion rate of the order of 3 mils/yr. at a temp. of 1705°, indicating that PuO has good stability for future high-temp. applications. Dorothy R. Malinin

P, $\Delta H_{\text{ev}}$ , $\Delta G_f$ 

C.A. 1962, ST. 13

15890 ab

PuO<sub>2</sub>  
4714 | Westrum E. T.,  
Griffnold J.

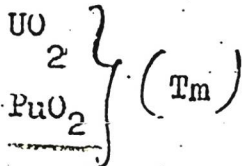
1962

Spiegelman  
Thermodyn. Nucl. Mater.  
Proc. Symp. Vienna 1962, 3  
(Publ. 1963)

[18] PuO<sub>2</sub> (r,  $\infty$ ) / G<sub>p</sub>

VIII. 1265

1963



Chikalla T.D.,

J. Amer. Ceram. Soc., 1963, 46, N 7; 323-328

Melting behaviour in the system  $\text{UO}_2-\text{PuO}_2$

CA, 1963, 59, N 13, 14844f

E

$\text{Eu}_2\text{O}_3$ ;  $\text{PuO}_2$

1963

a, b, c

Haug H., Weigel F.

J. Nucl. Mater., 1963, 9, N3, 360-363

Mischoxidsysteme von Lanthaniden-  
und Actiniden-elementen. II. Röntgen-  
untersuchungen in System Plutonium-  
Oxid - Ceropiumoxid

P.K., 1964

N175212

ME Ø

$\text{PuO}_2+x$

1963

Jackson E.E., Rand M.H.

The oxidation behaviour of  $\text{PuO}_2$  and  
solid solutions containing  $\text{PuO}_2$ ,  
UK Atomic Energy Authority, Rep. AERE R3636  
(1963)

Chem. Th., v. 5 (2003) cit. 773

*PuO<sub>2</sub>*

24 Б417. Теплоемкость двуокиси плутония ниже 325° K. Sandenaw Th. A. Heat capacity of plutonium dioxide below 325° K. «J. Nucl. Mater.», 1963, 10, № 3, 165—172 (англ.; рез. франц., нем.)

1963

*Cp  
ниже 325°K*

Теплоемкость  $C_p$  PuO<sub>2</sub> измерена в интервале 12—325° K; методика (описана ранее см. Sandenaw и др. в Pentonium. ed Grison E. и др. Cleaver—Hume Press, London, 1961 г., стр. 66) основана на измерении скорости подъема т-ры в процессе «саморазогрева» предварительно охлажд. образца от т-р жидкого Не до ~20°. Приведены метод обработки исследуемого объекта, данные его анализа. Между 25—320° K рассчитаны и табулированы  $S_T$  и  $H_T - H_0$ , равные при 298° K соответственно 16,33 энтр. ед. и 2600 энтр. ед. Обнаружено, что  $C_p$  PuO<sub>2</sub> плохо воспроизводится ниже 100° K (рассмотрены возможные причины). В исследованном интервале кривая  $C_p - T$  PuO<sub>2</sub>, полученная из последней серии опытов, не имеет аномальных областей и по характеру близка к кривой  $C_p - T$  ThO<sub>2</sub>. На характер температурной зависимости  $C_p$  PuO<sub>2</sub> > 100° K оказывает влияние остаточная радиация образца. Э. Серегин

Б9

24.1964.24

РДК СГУЗ! ВР-2278-ВІІІ

$\text{PuO}_2(k, \nu)$

1963

$C_p$

15-325K

Sandenaw T.-ft.

1963.  $\frac{1}{2}$  Nucl. Mat. 10, 165

Heat capacity of  $\text{PuO}_2$  hence 325K VIII

Prep. Z. Ceperucha

B9P - 99478 - VII

Низкотемп. генераторы  
изменяют не отриц.

$^{239}\text{PuO}_2$  вибраторы  
(15-325) кс.

$\text{PuO}_2$

Sanderson T.A. [638AN]

1963

J. Nucl. Mater., 1963, 10, p. 165

[4131]

$C_p$

13-325K



Bcp - 2278 - VIII

1963

PuO<sub>2</sub>

Cp

) Heat capacity of plutonium dioxide below 325°K. Th. A. Sandenaw (Los Alamos Sci. Lab., Los Alamos, N.Mex.). *J. Nucl. Mater.* 10(3), 165-72(1963). The heat capacity of PuO<sub>2</sub> from 11 to 100°K. changed slightly after each of 7 coolings with smoothing out of peaks until the final heat capacity-temp. curve was similar to that of ThO<sub>2</sub>.

Jasper D. Hepworth

399-2278-1

C.R. 1964. 60-5  
4880c

VIII - 1266

1964

PuO, PuO<sub>2</sub>, Pu<sub>2</sub>O<sub>3</sub> (Turf esp. på)

Chikalla T.D., Mc Neilly C.E.,  
Sjövadahl L.E.

J. Nucl. Mater., 1964, 12, n2, 131-134

B, Met

Ch, 1964, 61, n7, 7926e

$\Phi_{\text{UO}_2(\text{K}_{\text{24}})}$

$T_{\text{mel}} = 2511 \pm 13 \text{ K}$

1964

Lyon W.L., Bailey W.E.

1964. Tech. Rep. GE APR-64640.

General Electric (USA).

$$T_{\text{hi}} = (2511 \pm 135) \text{ K}$$

Cyrene ITS-80

$$T_{\text{hi}} = (2513 \pm 135) \text{ K} \text{ (без кислорода O}_2\text{).}$$

VIII 3143

1964

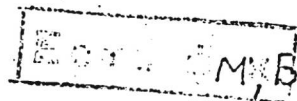
PuO<sub>2</sub>(  $\Delta G^{\circ}f$ ,  $\Delta H^{\circ}_{298}v$  )

Pardue W.M., Heller D.L.,

J.Amer.Ceram.Soc., 1964, 47, (12), 610-14.

Volatility of PuO<sub>2</sub> I in nonreducing  
atmospheres

CA, 1965, 62, N 9, 986f



VIII 2286

Pu, PuO<sub>2</sub> (P)

Saxon J.

1964  
CITR. 15228

Product Group. U.K., Atomic Energy Author.

Rept., 1964, N 837(D), 1-8

The volatility of plutonium and plutonium oxides. A review a compete bibliography

let's open

Plenum., 1965, 21B399

B

*PuO<sub>2</sub>*

B9P - 3143 - VIII

1964

9120 VOLATILITY OF PuO<sub>2</sub> IN NONREDUCING ATMOSPHERES. William M. Pardue and Donald L. Keller (Battelle Memorial Inst., Columbus, Ohio). J. Am. Ceram. Soc., 47: 610-14 (Dec. 21, 1964).

The vapor pressure of plutonium dioxide (PuO<sub>2</sub>) was investigated in the range from 1450 to 1775°C in air, argon, and oxygen atmospheres by a transpiration technique. There were strong indications that PuO<sub>2</sub> can vaporize congruently or as a suboxide species, depending on the atmosphere. The  $\Delta H_{298}^{\circ}$  for vaporization in 1 atm of oxygen was approximately 154,000 cal per mole. The estimated standard free energy of formation ( $\Delta G_f^{\circ}$ ) of gaseous PuO<sub>2</sub> is  $-121,000 + 10.7 T$  from 1227 to 1827°C. (auth)

P  
ΔHf

IVSA 1965 19 6

1964

PuO<sub>2</sub>

Sandenaw T.A.

J. Nuclear Materials  
(B neptane)

cp. (10 -325°K).

PuO<sub>2</sub>

Saxon J.

1964

Product. Group. U. K. Atomic  
Energy Author. Rept, 1964, N 837(2),  
8 pp.

(c) Pu T

Литургический мелодии и его окн  
и обзор экспериментальных  
методов и результатов с по-

моё биография.

(чи. Ри)

BP-3143-VIII

1964

PuO<sub>2</sub>

ΔH<sub>vap</sub>

ΔF<sub>f</sub>

Volatility of PuO<sub>2</sub> in nonreducing atmospheres. William M. Pardue and Donald L. Keller (Battelle Mem. Inst., Columbus, Ohio). *J. Am. Ceram. Soc.* 47(12), 610-14(1964). The vapor pressure of PuO<sub>2</sub> was studied between 1450-1775° in air, Ar, and O atms. PuO<sub>2</sub> can vaporize congruently or as a suboxide species depending on the atm. The  $\Delta H^\circ_{298}$  for vaporization in 1 atm. O is ~154,000 cal./mole. The estd. standard free energy of formation  $\Delta G^\circ$ , of gaseous PuO<sub>2</sub> is  $-121,000 + 10.7T$  from 1227 to 1827°.

J. C. Tallman

C.A.  
9826

1965. 62.9

PuO

1018 - VIII 1965

PuO<sub>2</sub>

(P, 46f)

Ackermann R. J.; et al

Thermodyn. Proc. Symp.

Vienna, 1965, 1, 243-69

Publ 1966. ●

1965

VIII 1018

ThO, ThO<sub>2</sub>, PuO, PuO<sub>2</sub>, NpO, NpO<sub>2</sub>,  
UO, UO<sub>2</sub> (P,  $\Delta G_f^\circ$ )

Ackermann R.J., Thorn R.J.,  
Thermodynamics, Proc. Symp.,  
Vienna, 1965, 1, 243-259 (Pub. 1966)

B.M.

CA, 1966, 65, n6, 2091c

$\text{PuO}_2$

1965

Adas L.M., Schlehrman G.J.  
магнито-юнак, аморфный  
и кристаллический. Белл,  
22-23 июня 1965 г.

Дисперсионное равновесие  
 $\text{PuO}_2$ -x в аналогии  
1100 - 1600°C.

$\text{PuO}_{2-x}$

Atlas L. M., Schleman <sup>1965</sup>  
g. g.

U.S. At. Energy Comm. ANL-6960  
25 pp.

Katharometric and resistivity studies of  $\text{PuO}_{2-x}$  equilibria.

$\text{PuO}_2$

1965

Hough J., Marples J. et al.

$T_m = 2400^\circ\text{C}$  J. Nucl. Mat., 1965, 15, p. 208

See lecture notes T.F.

Comments made by Lyon Baijij (1964.)



$\text{PuO}_2$

Lyon  $\xrightarrow{\text{UO}_2 \sim \text{PuO}_2}$  W. L.,  
Baily W. E.

1965

$T_m$

AEC Accession No 39393, Rept.  
No 98AP-4878.

Solid-liquid phase diagram  
for the  $\text{UO}_2$ - $\text{PuO}_2$  system.

(c.e.  $\text{UO}_2$ ) I

VIII 1823

( $\text{Pu}_2\text{O}_3$ ) recx.

( $\Delta$  Hf, S°)

1965

$\text{PuO}_{1.61}$

Markin T.L., Rand M.H.,

Thermodynamics, Proc. Symp., Vienna, 1965,  
1, 145-56, discussion, 182-3 (Pub. 1966 )

Thermodynamic data for plutonium oxides

CA, 1966, 65, N 6, 8091h

$\delta \mu$

A 1011

1965

PuD<sub>2</sub>, PuF<sub>3</sub>, PuF<sub>4</sub>, PuOF<sub>6</sub>, PuC, PuC<sub>2</sub>

(ΔH<sub>f</sub>, S°)

Raud M. H.

Thermodynamics, Proc. Symp., Vienna,  
1965, 2, 603-611 (Publ. 1966)

M. B. 11/13 9/61

PuD<sub>2-x</sub>

Om. 17464

1966

ненужн.  
паж.  
репрос.

Atlas L.M., Schlehrnabij;  
Thermodynamics II  
IAEA, Vienna, 1966,  
p.407.

196

14559p A thermodynamic study of the vaporization behavior  
of the substoichiometric plutonium dioxide phase. -R. J.  
Ackermann, R. L. Faircloth, and M. H. Rand (Argonne Natl.  
Lab., Argonne, Ill.; Battelle Seattle Res. Inst., Seattle, Wash.)  
Two sets of functions were found for the simple  
only one bath. Two sets of functions were found for the simple  
different kind of model involving the membrane in contact with  
previous papers. Similar results were derived here for a third,  
tions for 2 simple explicit steady-state models were derived in the  
840-4(1966)(Eng); cf. CA 65, 14517b. Thermodynamic func-  
(Univ. of Oregon, Eugene). Proc. Natl. Acad. Sci. U.S. 56(3),  
14555) Irreversible thermodynamics. VII. Terrell L. Hill  
state between form I and form II.

Martin Allen

charge carriers traveling through the solid in its activated hybrid  
gion for graphite nitrate is attributed to addnl. scattering of  
crystal form. This anomalous thermoelec. power in the  $\alpha$  re-  
extends over a considerable range especially below the peak  
temp., there is a steep pos. increase of power to a value much  
greater than that which may be regarded as normal for either

the  
C.  
O.

C.A. 1967. 66. 4

residual pressure of approx.  $2-5 \times 10^{-6}$  mm. as measured by a Miller cold cathode gauge located about 9 inches from the cell. The sampling of the effusate by successive 10-min. exposures of Pt targets indicated that the evapn. process was not univariant. The over-all decrease in the total effusion rate of Pu-bearing species observed at 2033°K. during an 8-hr. time interval was ~30%. The rates of effusion at various temps. were measured at 1646-2066°K. The sample was transferred under Ar to an Ar-filled glove box where a small sample was taken from the effusion cell and sealed in a Pyrex capillary for x-ray analysis. The overall compn. of the sample was O/Pu  $\cong$  1.90-1.93. The evapn. behavior of the Pu phase is bivariant in view of the substantial change in compn. and the concurrent decrease in total effusion rate at const. temp. The evapn. behavior of the  $\text{PuO}_{2-x}$  phase suggests that a single phase is present at the temp. of the measured effusion rates and that this phase having the compn.  $\text{PuO}_{1.92}$  disproportionateates to ~ $\text{PuO}_{1.99}$  and a small amt. of  $\text{PuO}_{1.52}$  upon cooling to room temp. A continuous region of solid soln. of the fluorite-cubic Pu phase exists at high temp. From the partial molar and integral molar free energy equations it is possible to construct various isotherms of pressure vs. compn. In addn. to the partial pressures of  $\text{O}_2$ , O,  $\text{PuO}_2$ ,  $\text{PuO}$ , and Pu, the partial pressure of  $\text{WO}_2$  was calcd.

T. E. Muller

$W\text{O}_2$  ( p )

VII 173.

1966

0299254

$\text{PuO}_2$ ,  $\text{PuO}_{(s)}$  Gf)

Ackermann R.J., Faircloth R.L., Rand M.H.

J.Phys.Chem., 1966, 70, N11, 3698-3706.

A thermodynamic study of the vaporization behavior of the substoichiometric plutonium dioxide phase.

Est/orig.

RX., 1967, 16674 M, B

PuO<sub>2</sub>

1966

> 16 Б674. Термодинамическое изучение поведения при испарении нестехиометрической фазы двуокиси плутония.  
Ackegmann R. J., Faircloth R. L., Rand M. H.  
A thermodynamic study of the vaporization behavior of the substoichiometric plutonium dioxide phase. «J. Phys. Chem», 1966, 70, № 11, 3698—3706 (англ.)

Методом Кнудсена (испарение из W, Re и Ta эффициональных камер) в области т-р 1650—2100° К изучено испарение нестехиометрической фазы двуокиси плутония ( $\sim 1,6 < O/Pu < 2,0$ ). Давление паров интерпретируется в предположении, что наиболее важными компонентами газовой фазы являются PuO<sub>2</sub> (газ), PuO (газ) и кислород. Показано, что парц. давление PuO<sub>2</sub> относительно нечувствительно к вариациям состава твердой фазы, в то время как для газообразных PuO и кислорода (как атомного, так и молекулярного) такая зависимость за-

391-111-143

2 · 1967 · 16

метна и становится доминирующей вблизи от границ фазы. На основе литературных данных для твердой фазы и данных по давлению паров рассчитаны ур-ния для стандартных свободных энергий образования газообразных двуокиси иmonoокиси:  $\Delta G^{\circ}$  (обр.,  $\text{PuO}_2$ , газ) =  $= -113,100 + 4,35 T$  и  $\Delta G^{\circ}$  (обр.,  $\text{PuO}$ , газ) =  $= -29,00 - 12,1 T$ . Показано, что для состава, испаряющегося конгруэнтно, соотношение  $\text{O}/\text{Pu}$  варьирует от 1,92 при  $1600^{\circ}\text{K}$  до 1,84 при  $2400^{\circ}\text{K}$ . В. Карелин

~~BP~~ - VII 4251

1966

$\text{PuO}_2$ ,  $\text{PuO}$  ( $\delta$  Cf)

Aerermann R.J., Faircloth R.L.,  
Rand M.H.

J. Phys. Chem., 1966, 70 (11), 3698-3706

PH Kew 1967

165674

11

PuO<sub>2</sub>

1966

4 В31. Развитие процесса «золь-гель» для получения плотных форм PuO<sub>2</sub>. Haige R. G., Lloyd M. H. Development of a sol-gel process for the preparation of dense-oxide forms of PuO<sub>2</sub>. «Trans. Amer. Nucl. Soc.», 1966, 9, № 1, 20 (англ.)

Описано получение кальцинированной PuO<sub>2</sub> (I). К разб. р-ру Pu(NO<sub>3</sub>)<sub>4</sub>, содержащему от 1—2 моля HNO<sub>3</sub>, добавляют избыток водн. NH<sub>3</sub>. Полное удаление примесей посторонних ионов достигается при промывке осадка водой. Осадок диспергируют при 50° в разб. HNO<sub>3</sub> (мин. содержание 1 моль HNO<sub>3</sub> на 1 г-атом. P<sub>4</sub>). Золь представляет собой устойчивую колл. дисперсию полимера Pu(4+). Золь высушивают досуха и выдержива-

х. 1964 .4

вают при  $200^{\circ}$  в течение 6 час. для уменьшения конц-ии  $\text{NO}_3^-$ , получая гель, к-рый диспергируют в избытке  $\text{H}_2\text{O}$ . После повторного диспергирования дисперсию упаривают до требуемой конц-ии. Из дисперсии при высушивании и прокаливании при  $1150^{\circ}$  получают I. Золь Ри легко смешивается в различных отношениях с золями Тв и У. Частицы одинакового размера получают при диспергировании золя в орг. жидкостях. Сферич. частицы отделяют от орг. жидкости водой, высушивают и прокаливают, получая I. Плотность I равна 95—99% от теоретич., а прочность превышает 600 г для сферы диаметром 150 м.

Е. Разгон

Система

Pu - O

[EFTAE]

1987

PuO<sub>x</sub>

15 летриев!

22 Б856. Системы плутоний—кислород и уран—плутоний—кислород. Термохимическая оценка. The plutonium-oxygen and uranium-plutonium-oxygen systems. A thermochemical assessment. Rept panel thermodynam. plutonium oxides, Vienna, 24—28 Oct. 1966. «Techn. Repts Ser. Internat. Atomic Energy Agency», 1967, № 79, 86 pp., ill. (англ.)

Обзор данных по фазовым диаграммам систем Pu—O, U—Pu—O, PuO<sub>2</sub>—MeO<sub>x</sub>, термодинамике окислов плутония и фаз. системы U—Pu—O. Библ. 167. В. С.

обзор

м.-г. св

б

У берегов есть Конс Tech. R.

+1

д. 1968

23

☒

$\text{PuO}_2$   
(cr)

христиан  
тихие

[67 TAE]

1967

„The plutonium-oxygen and  
uranium-plutonium-oxygen systems:  
T. A. E. A., Vienna, 1967, 86 p. ap. 859

$\text{PuO}_2$  имеет структуру фаза ортота fcc (членов Fm<sup>3</sup>)  
 $a = \frac{3,844 + 0,006}{4} - 10$   
с параметром  $a = 5,938 \times 10^{-8}$  м. и плотностью  
11,47 g·cm<sup>-3</sup>. В работе отмечается, что нерастворимые  
песчаники удаляются со временным, достаточно  
изменяющимся  наблюдением

$\text{Pu}_2\text{O}_3$   
(c)  
крист.  
сфутичес

[64 IAE]

1964

"The plutonium-oxygen and  
uranium-plutonium-oxygen  
systems: A thermochemical  
assessment". Technical Report  
Series 79, I.A.E.A., Vienna, 1964, 86p.



(ав. од.)

$\text{PuO}_3(\text{cr})$  и имеет структуру зеркально-бескрайней  
тетра  $\text{A}$  ряда замещения (группа  $\text{P}3\text{m}1$ )

$$c \quad a = 3,841 \times 10^{-10} \text{ m}$$

$$c = 5,958 \cdot 10^{-10} \text{ m}$$

$$\text{и плотность } 11,44 \text{ g} \cdot \text{cm}^{-3}$$

1967

17 Б935. Некоторое изучение высокотемпературного поведения  $\text{PuO}_2$  и смесей  $\text{PuO}_2$  и  $\text{UO}_2$ . Berggren G.

PuO<sub>2</sub>

Forsyth R. S. Some studies of the high temperature behaviour of  $\text{PuO}_2$  and  $\text{PuO}_2\text{--UO}_2$  mixtures. «Plutonium, 1965». London, Chapman and Hall, 1967, 828—834. Discuss., 835—837 (англ.)

Методами металлографии, рентгенографии, дилатометрии, ТГА, ДТА изучено поведение спрессованных порошков  $\text{PuO}_2$  (I) и  $\text{UO}_2$  (II), а также их смеси в интервале 1—25 % вес. I при т-рах  $> 1600^\circ$ . Установлено, что в изученных смесях образуются тв. р-ры, причем, скорость их образования увеличивается с увеличением I в смеси. При  $1350^\circ$  зафиксировано превращение в обеих фазах, а при  $1560^\circ$  в одном исходном компоненте. Расплавление тв. р-ров зафиксировано при  $1610^\circ$ . При

1610

773

1873 K

X. 1968

|||||

-366 +

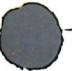
B97

17

1660 ? °C

773

1933 K



нагревании выше  $1660^{\circ}$  в восстановительной атмосфере отмечены потери веса (до 5%), связанные с образованием  $\text{Ru}_2\text{O}_3$ ; на воздухе они уменьшаются до 1,5 вес.%. Коэф. термич. расширения для I, II и их смесей примерно одинаков  $11,0 \pm 0,5 \cdot 10^{-6}$ . Изменение окраски образцов зависит от содержания  $\text{O}_2$  в восстановительной атмосфере. Рентгеновским анализом в смесях установлены 3 фазы: 1-я со структурой I ( $a = 5,395 \text{ \AA}$ ), 2-я со структурой гранецентрир. куба и размерами, близкими к  $\alpha\text{-RuO}_2$  ( $a = 5,520 \text{ \AA}$ ) и 3-я с промежуточной структурой между  $\alpha\text{-Ru}_2\text{O}_3$  и Се с  $a = 5,594 \text{ \AA}$ .

Б. Доброцветов

$\text{PuO}_2$

Epstein L.F.  
J. Nucl. Mater.  
22, N3, 340

1967

$\Delta H_m$

VIII

B9 - 355

A

Ideal solution behavior  
and heats of fusion of  
the  $\text{UO}_2$ - $\text{PuO}_2$  phase  
diagram.



(all.  $\text{UO}_2$ ) I

PuO<sub>2</sub>, PuC<sub>2</sub> (p) ( $\Delta G_f^\circ$ )<sup>3</sup>; VII-130 1967

VII-130.

A.S.E.C. Energy Comm., 1967, UJV-1832,  
19 pp. Tech.

Vaporization of actinides and their  
binary-compounds. IV-Vaporization.  
~~of~~  $\Delta H_f^\circ$   $\delta$ -ke

PuO<sub>2</sub>, PuC<sub>2</sub> (P) ( $\Delta G_f^\circ$ )<sup>3</sup> VII-130 1964

Vriva, J.

U.S. At. Energy Comm., 1967, UJV-1832,  
19 pp [Czech.]

Vaporization of actinides and their  
binary compound. IV. Vaporization.

5 Henry Šáke

$\text{PuO}_2$

BQ-354-VIII

1967

Lapage R., Bunce J.L.

( $\Delta H_f^\circ$ )

Trans Faraday Soc.,  
1967, 63 N8, 1889-94.

● (au. PuN; I)

$\text{PuO}_2(\text{r}, \text{x})$        $(\text{B}\phi - \text{VIII} 360)$       1967  
 $T_{\text{he}} = 2663 \text{ K} \pm 20 \text{ K}$

Zyot W.T.; Bailey W.E.

1967. J. Nucl. Mat. 22, 332-339

$$T_{\text{hu}} = (2663 \pm 20) \text{ K}$$

сущесв ITSG-90

$$T_{\text{hu}} = (2666 \pm 20) \text{ K}$$

(близкое O<sub>2</sub>)

$\text{UO}_2$ ,  $\text{PuO}_2$  ( $T_m$ ) 8  
BФ-VII 360 1967

Lyon W. L., Baig W. E.

J. Nucl. Mater., 1967, 22, N3, 332-339 (au...)

The solid-liquid phase diagram for the  
 $\text{UO}_2$  -  $\text{PuO}_2$  system.

Есть оригинал

Б ⑧

РНКХим, 1968

126605

$T_m^{\circ C}$        $T_m^{\circ K}$  (для  $PuO_2$ )

Пузановек. (1960)  $2296 \pm 30$

Рукауда (1961)  $2280 \pm 30$

Лайон. (1964)  $2238 \pm 135$

ЭТА рабочая (1967)  $2390 \pm 20$  (отр.)

$PuO_2$  - сам стехиометрический

пар. решетки:  $a = 5.3952 \pm 0.0003$

Точка калибровки	Pt	$Al_2O_3$	Nb	Mo	Tg
(°C)	1415	$1960 \pm 5$	$2360 \pm 10$	$2540 \pm 10$	$2885 \pm 20$

PuO<sub>2</sub>

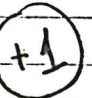
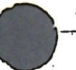
Kр

X·1968

17

17 Б926. Равновесные давления и константы скорости для карботермического восстановления  $(U, Pu)O_2$  и  $PuO_2$ . Pickles Sydneу. Equilibrium pressures and rate constants for the carbothermic reduction of  $(U, Pu)O_2$  and of  $PuO_2$ . «Chem. Engng Progr. Sympos. Ser.», 1967, 63, № 80, 64—71 (англ.)

Определены равновесные давл. CO ( $P_{CO}$ ) и константы скорости процесса карботермич. восстановления  $PuO_2$  и  $(Pu, O)O_2$  при т-рах 1300—1700°. Установлено, что в ходе восстановления  $(U, Pu)O_2$  в равновесных условиях с помощью C образуется карбидная фаза  $(U_{1-x}Pu_x)_2C_3$ . В системе  $PuO_2$ —C, кроме того, появляется промежуточный продукт — гексагон. модификация  $Pu_2O_3$ . Дальнейшее восстановление окисла при неравновесных условиях (непрерывное удаление CO) протекает за счет взаимодействия с полуторным карбидом и приводит к образованию оксикарбида, к-рый в свою очередь восстанавливается полуторным карбидом до монокарбида (Pu, U)C.



Бикарбид появляется в небольших кол-вах только в ходе процесса и исчезает при достижении степени взаимодействия  $\sim 50\%$ . Выведена зависимость величины  $\Delta G$  протекающих р-ций от т-ры и рассчитаны значения  $\Delta G$  образования карбидов  $(U_{1-x}Pu_x)_2C_3$ . Зависимость скорости восстановления  $(Pu_{0,15}U_{0,85})O_2$  от времени свидетельствует, что кинетика процесса описывается ур-нием 1-го порядка. Зависимость величины константы скорости для равновесного  $P_{CO}$  от т-ры выражается ур-ием:  $K_0 = 2,5 \times 10^3 \exp(-52800/RT)$ , а от величины избыточного давл. CO ур-ием  $K = K_0 [1 - (P/P_{CO})^{1/2}]$ .

Л. В. Шведов

$\Phi_{\text{UO}_2(\text{x}, \text{m})}$   
 $T_{\text{m}} = ?$

1968

Aitken E.A., Evans S.K.  
1968. Tech. Rep. USAEC GEARP-5872,  
General Electric

$T_{\text{me}} = 2663 \text{ K}$   
(без излучения)  
В атмосфере He.

$\text{Pu O}_2^{2+}$  (kp) v. gr. VIII 272/1968

Eberle S.H. von, Schaefer J.B.;  
Brandau E.,  
Radiotekn. acta (BRD), 1968,

10, 91-97

84

803. u. d.

VIII - 782 1968

PuO<sub>2</sub>

6 E721. Теплоемкость и термодинамические свойства  
двуокиси плутония. Kruger Owen L., Savage Howard. Heat capacity and thermodynamic properties of plutonium dioxide. «J. Chem. Phys.», 1968, 49, № 10, 4540—4544 (англ.)

Изменения теплосодержания PuO<sub>2</sub> измерены в интервале т-р 192—1400° К с помощью изотермич. калориметра смешения. Сглаженная кривая зависимости энталпии от т-ры передается ф-лой  $H_t - H_{298} = -8468 + 22,18 T + 1,040 \cdot 10^{-4} T^2 + 4,935 \cdot 10^5 T^{-1}$ . Составлены таблицы энталпии, теплоемкости, энтропии и свободной энергии Гиббса до 1800° К. Независимость магн. восприимчивости PuO<sub>2</sub> от т-ры по данным других авторов объясняет низкое значение энтропии PuO<sub>2</sub> при 298° К (16,34 кал/моль·град), которое несколько выше, чем у ThO<sub>2</sub>, но значительно ниже, чем у UO<sub>2</sub> и NpO<sub>2</sub>. Библ. 13. Резюме

(Cp).

Ф. 1969.

68

VIII - 782

1968

PuO<sub>2</sub>

12 Б746. Термоемкость и термодинамические свойства двуокиси плутония. Kruger Owen L., Savage Howard. Heat capacity and thermodynamic properties of plutonium dioxide. «J. Chem. Phys.», 1968, 49, № 10, 4540—4544 (англ.)

В массивном калориметре измерены значения  $(H_T - H_{298})_{\text{PuO}_2}$  в интервале 200°—1400° К. Анализ содержания O<sub>2</sub> после прокаливания порошка PuO<sub>2</sub> в течение 8 часов при 1300° К дал отношение Pu/O = 2,008 ± 0,007; максим. содержание примеси составляло 0,005 вес. % (Fe). Зависимость  $(H_T - H_{298}) = f(T)$  выражается уравнением  $H_T - H_{298} \text{ (кал/моль)} = -8468 + 22,18 T +$

$H_T - H_{298}$

Cp

X. 1969. 12

$+1,040 \cdot 10^{-4} T^2 + 4,935 \cdot 10^5 T^{-1}$ . Стандартное отклонение вычисленных эксперим. значений составляет 136 кал/моль. Полученная кривая  $C_p(T)$  согласуется с имеющимися данными при низких т-рах, что дало возможность вычислить значения  $(H_T^0 - H_0^0)$ ;  $(S_T^0 - S_0^0)$  и  $-(G_T^0 - H_0^0)/T$  в интервале  $25^\circ$ — $1800^\circ$  К. Мольная энтропия  $\text{PuO}_2$  при  $298^\circ$  К оказалась равной 16,34 энтр. ед., что значительно меньше соотв-щей величины для  $\text{UO}_2$  и  $\text{NpO}_2$ . Экстраполяцией получено значение  $C_p$  при т. пл., равное  $23,0 \pm 1$  кал/моль·град.

П. М. Чукуров

VIII-782

PuO<sub>2</sub> $H_T - H_{298}$ 

Cp, S°

C.A. 1969. 40.6

23689r Heat capacity and thermodynamic properties of plutonium dioxide. Kruger, Owen L.; Savage, Howard (Metallurgy Div., Argonne Nat. Lab., Argonne, Ill.). *J. Chem. Phys.* 1968, 49(10), 4540-4 (Eng). Changes in the heat content of PuO<sub>2</sub> were measured at 192-1400°K. with an isothermal drop calorimeter. The enthalpy curve, which was a smooth function of temp., is described by the equation  $H_T - H_{298} = -8468 + 22.18T + 1.040 \times 10^{-4}T^2 + 4.935 \times 10^5 T^{-1}$ . The first deriv. of this equation gave the heat-capacity relation,  $C_p = 22.18 + 2.080 \times 10^{-4}T - 4.935 \times 10^5 T^{-2}$ . At 298°K. this equation agrees with previously reported low-temp. measurements made with an adiabatic calorimeter. These high- and low-temp. data were combined to obtain standard-state heat content, heat capacity, entropy, and Gibbs free energy functions to 1800°K. Measurements by other investigators show that PuO<sub>2</sub> has a temp.-independent magnetic susceptibility below 1000°K. This behavior explains the comparatively low entropy of 16.34 cal. mole<sup>-1</sup>·degree<sup>-1</sup> for stoichiometric PuO<sub>2</sub> at 298°K., which is somewhat greater than the value found for ThO<sub>2</sub> and considerably less than the values for UO<sub>2</sub> and NpO<sub>2</sub>. RCJQ

1968

$\text{PuO}_2(\text{x}, \text{x})$

(Bφ - VII - 782)

1968

$C_p$   
H-H<sub>2</sub>S8

Kruger O.L., Savage H.

1968. J. Chem. Phys. 49, 4540-44.

Міжкотичн. Температур від  $0^{\circ}\text{C}$  до  $35^{\circ}\text{C}$

239  $\Phi_{\text{H}_2}$  залежність

близької ( $192 - 320$ ) К.

Де  $\Phi_{\text{H}_2}$

$H-H_{258}$  залежність близької  
( $298 - 1404$ ) К

Данні з фіз. хвиль відсутні

(Om. 1950)

1968

PuO<sub>2-x</sub>

20 Б722. Испарение гипостехиометрической двуокиси плутония от 2070 до 2380° К. Messier Donald R. Evaporation of hypostoichiometric plutonium dioxide from 2070 to 2380 K. «J. Amer. Ceram. Soc.», 1968, 51, № 12, 710—713 (англ.)

Общее давление паров  $\text{PuO}_{2-x}$  измерено графиметрически с помощью ячейки Кнудсена от 2070 до 2380° К. Ур-ние давления пара для состава  $\text{PuO}_{1,82}$ :  $\lg p(\text{атм}) = -8,38(\pm 0,11) - 30,97(\pm 0,25) \cdot 10^3/T$ , где  $p$  — давление пара, полагая пар полностью состоящим из  $\text{PuO}_2$  (г.). Испарение  $\text{PuO}_{2,56}$  было инвариантным, показывая присутствие двух конденсированных фаз, испарение  $\text{Pu}_{1,62}$  — бивариантным. Это показывает, что фазовая граница  $\text{PuO}_{2-x}$  остается при  $\text{PuO}_{1,61}$  при т-рах, близких к т-рам жидкостей.

Резюме

x. 1969. 20

(Окт. 1950)

1968

PuO<sub>2-x</sub>

20 Б722. Испарение гипостехиометрической двуокиси плутония от 2070 до 2380° К. Messier Donald R. Evaporation of hypostoichiometric plutonium dioxide from 2070 to 2380 K. «J. Amer. Ceram. Soc.», 1968, 51, № 12, 710—713 (англ.)

Общее давление паров PuO<sub>2-x</sub> измерено графиметрически с помощью ячейки Кнудсена от 2070 до 2380° К. Ур-ние давления пара для состава PuO<sub>1,82</sub>:  $\lg p(\text{атм}) = -8,38(\pm 0,11) - 30,97(\pm 0,25) \cdot 10^3/T$ , где  $p$  — давление пара, полагая пар полностью состоящим из PuO<sub>2</sub> (г.). Испарение PuO<sub>2,56</sub> было нивариантным, показывая присутствие двух конденсированных фаз, испарение Pu<sub>1,62</sub> — бивариантным. Это показывает, что фазовая граница PuO<sub>2-x</sub> остается при PuO<sub>1,61</sub> при т-рах, близких к т-рам жидкостей.

Резюме

Х. 1969. 20

PuO<sub>2</sub>

P

[Aug. 1960]

1968

14661y Evaporation of hypostoichiometric plutonium dioxide from 2070 to 2380°K. Messier, Donald R. (Argonne Nat. Lab., Argonne, Ill.). *J. Amer. Ceram. Soc.* 1968, 51(12), 710-13 (Eng). Total vapor pressures of  $\text{PuO}_{2-x}$  compns. were measured gravimetrically with W Knudsen cells from 2070 to 2380°K. The vapor pressure equation for the compn. approximating the congruent one,  $\text{PuO}_{1.82}$ , is  $\log P_e \text{ (atm.)} = 8.38 (\pm 0.11) - [30.97 (\pm 0.25) \times 10^3 / T]$  where  $P_e$  is the pressure if the vapor is assumed to be entirely  $\text{PuO}_2(g)$ . The evapn. of  $\text{PuO}_{1.56}$  was univariant, indicating the presence of two condensed phases, and that of  $\text{PuO}_{1.62}$  was bivariant from 2240 to 2380°K.; this result confirms that the phase boundary of the  $\text{PuO}_{2-x}$  phase remains at  $\text{PuO}_{1.61}$  at temps. close to the liquidus.

RCYT

C.A. 1969. 40. 4

$P_{CO_2}$

(P)

Annual Meeting 1950

[Om. 1950]  
D. R. Messier. 1968

[68 MES] 86.

J. of the American  
Ceramic Society - Messier  
1968, 51, N12, 710-713



Четвертическо, и то  $PuO_{2.62}$  биваристик при  
2240 - 2380К, разовеаф гранитда иеласу.  
 $PuO_{2-x}$  и  $PuO_{2.62}$  иерезает волнизи чаладанып,  
(и.е. берие 1500К - 2000К)

$\text{PuO}_2$

[68MES] (Am. 1950)

1968

Messier D. R.

P  
Evaporation of hypostoichiometric  
plutonium dioxide from 2070 to 2380K

(2070 -  
- 2380K) J. Am. Ceram. Soc., 1968, 51, 710-713 p.

$\text{Al}_2\text{O}_3$ ,  $\text{UO}_2$ ,  $\text{PuO}_2$  ( $C_P^{89}$ ) VIII 3459 1969

5 8 ~~56602~~

Engel T.K.

J. Nucl. Mater., 1969, 31 N2, 211-214 (ann.)

The heat capacities of  $\text{Al}_2\text{O}_3$ ,  $\text{UO}_2$  and  $\text{PuO}_2$  from 300 to  $1100^\circ\text{K}$ .

Johnson, 1970

15693

5 ⑨ 8

1970

Prc O<sub>2</sub> 2+X

Affortit Christian,

Marcon Jean-Pierre.

Gp

"Rev. int. hautes temp.  
et refract." 1970, Y,  
N 3, '236-241'



(Ces. 20) I  
2+X

$\text{PuO}_2(\text{K}, \text{n})$

1970

H-H<sub>2</sub>S<sub>8</sub>

1500 -  
- 2715 K

Ogard AE.

1970. Vol. 6. p. 78

(nuclear energy).

Plutonium 1970, pp. 78-83

11-th 58 қызырбай  
Сынсырбай (1500-2415) к.

Даркын Нұхсан жағасау

~~Diffusion of oxygen~~ 1970  
PuO<sub>2</sub> ( $T_m = 2682 \pm 20K$ )<sup>8</sup> VIII 5184  
Riley B.F.  
Sci. Ceram., 1970, 5, 83-109 (sumy)  
Hem ha nečte!

High temperature oxygen equilibrium in the plutonium - oxygen system.

5 (cp) 6

act b + 4! c, 334

CA, 1971, 75, N24, 144382x

~~PuO<sub>2</sub>(n.m)~~

$$T_{\text{m}} = 2682 \text{ K} \pm 20 \text{ K}$$

VIII 5184

1970

270 270 гакка?  
а T<sub>CUB</sub> не отразило!

Riley B.

1970. In: Science of Ceramics, Proc.

5th. Int. Conf. Ronneby, Sweden,

1969, p. 83-109

$T_{m1} = (2643 \pm 20) \text{ K}$  в атм.  $O_2$

сумерки ITS-90

$T_{m1} = (2682 \pm 20) \text{ K}$

(атмосфере Ar)

$PuO_2$  находит конгруэнтно только  
в атмосфере иссароди при высоком его  
давлении!

Pulc Schlechter M. 1970

4186

Afghanistan

J. Nac. Mater; 1970,  
37, p. 82

[16]

Pulc (x, no) cyp-fa

U<sub>3</sub>O<sub>8</sub>-PuO<sub>2</sub> (paz. group.) 1971  
Nakayama I., VII 5513  
J. Nucl. Chem. 1971,  
33, N<sub>12</sub>, 4074-84 (am.)

Phase study on the tie line  
of uranium heptoxide-plutoni-  
um dioxide.

5 (all opinions) CA, 1972, 76, N<sub>16</sub>, 90736r

$\text{PuO}_{2-x}$

отмече 2915 1972

обзор

16 Б742 Д. Вклад в исследование термодинамики окислов плутония и смесей окислов урана — плутония. Chereau Piaget. Contribution à l'étude thermodynamique des oxydes de plutonium et des oxydes mixtes uranium—plutonium. Thèse doct. sci. phys. Univ. Paris-Sud Centre Orsay, 1972, 81 р., ill. (франц.)

Обзор. Обсуждены термохим. и кинетич. исследования окислов  $\text{PuO}_{2-x}$  и  $(\text{U}+\text{Pu})\text{O}_{2-x}$ . Эксперим. данные по парц. энталпиям кислорода и фазовому составу систем сравниены с результатами статистико-термодинамич. расчетов по модели, развитой для окислов церия. Согласие полученных результатов удовлетворительное. А. Гузей

Х. 1974 № 16

+1

$\text{ThO}_2, \text{UO}_2, \text{NpO}_2, \text{PuO}_2, \text{Pu}_2\text{O}_5$ , 1972

$\text{Sm}_2\text{O}_3, \text{Cm}_2\text{O}_3 (\text{Tm}) \text{Cm}_2\text{O}_3, \text{Sm}_2\text{O}_3 (\text{Tb})$

Chikalla T.D., Mc Neilly C.E., Bates J.L.,  
Rasmussen J.J. VIII 5453

Collog. int. CNRS, 1972, N° 205, 351-360.



Discuss., 360 (942n.)

High temperature phase transformations in some  
lanthanide and actinide oxides.

PHI XXIX, 1973

155903

5 (P)

7.44 13

1972

 $\text{PuO}_{2-x}$  $\text{ZrO}_{2-x}$ 

(ΔH)

69315w Thermochemistry of nonstoichiometric oxides.  
Gerdanian, P. (Lab. Composes Non-Stoechiom., Univ. Paris-XI,  
Orsay, Fr.). *Colloq. Int. Nat. Rech. Sci.* 1971 (Pub.  
1972). 201, 259-82 (Fr). The partial molal enthalpy ( $h_o$ ) of O  
is an important property of nonstoichiometric oxides. Bomb  
calorimetric methods for the detn. of  $h_o$  are reviewed, and a  
detailed discussion of the microcalorimetric method for the  
direct measurement of  $h_o$  is presented. The microcalorimeters  
used are described in detail. For accurate measurement, it is  
necessary that the paths for diffusion of O be as small as  
possible and that measurements be made at a temp. high enough  
to produce rapid homogenization of the oxide. Previously  
published results on  $\text{UO}_{2+x}$  and  $\text{FeO}_{1+x}$  are reviewed and  
measurements are presented for  $\text{PuO}_{2-x}$  and  $\text{ZrO}_{2-x}$ .

C.A 1974 S1 N12

(+)

PuO<sub>2</sub>

1972

48921p Thermal expansion of plutonium dioxide. Nutt, A. W.; Tokar, M. (Los Alamos Sci. Lab., Los Alamos, N. Mex.). Report 1972, LA-4945, 5 pp. (Eng). Avail. Dep. NTIS.: From *Nucl. Sci. Abstr.* 1972, 26(20), 48319. The linear thermal expansion of <sup>239</sup>PuO<sub>2</sub> was measured from 25 to 1420°. A polynominal least squares fit of the expansion data yielded the linear expansion expression (in cm/cm degree):  $\Delta L/L_0 = -1.2232 \times 10^{-4} + 7.5866 \times 10^{-6} T + 5.6948 \times 10^{-9} T^2 - 5.9768 \times 10^{-12} T^3 + 4.4092 \times 10^{-15} T^4 - 1.2897 \times 10^{-18} T^5$ . The mean linear expansion coeff. from 25 to 1420 was  $11.16 \times 10^{-6}$  cm/cm degree.

C.A. 1973. 78, NB

23 entries

1973

 $\text{PuO}_{2-x}$  $(\text{UPu})\text{O}_{2-x}$ 

(4Hf)

5 Б1029. Термодинамическое исследование окислов плутония и смешанных окислов урана и плутония.  
 Chereau Pierre. Contribution à l'étude thermodynamique des oxydes de plutonium et des oxydes mixtes uranum-plutonium. «Rapp. CEA», 1973, № 4402, 119 р., ill. (франц.; рез. англ.)

С помощью микрокалориметра Кальве измерена энталпии ступенчатого окисления  $\text{PuO}_{2-x}$  и  $(\text{UPu})\text{O}_{2-x}$  при  $1100^\circ$  и определены парц. молярные энталпии смещения  $h_{0,M}$  кислорода с этими окислами. Корректность метода подтверждена измерениями хим. коэф. диффузии кислорода в окислах, к-рый рассчитывался по изменению электрич. сопротивления образцов в процессе

(71) 

окт 1976 № 5

окисления. Установлено существование узкой двухфазной области в интервале составов  $\text{PuO}_{1,70}$ — $\text{PuO}_{1,71}$  и широкой однофазной области в интервале составов  $\text{PuO}_{1,61}$ — $\text{PuO}_{1,70}$ . Определены энталпии образования  $\text{Pu}_2\text{O}_3$  и  $\text{PuO}_{1,61}$ , равные —402,7 ккал/моль и —211,4 ккал/моль соотв. Изменение  $h_{\text{o}}^{\text{M}}$  в смешанных окислах в зависимости от содержания Ру сопоставлено с результатами для чистых окислов.

Из резюме

1974

ThO<sub>3</sub>, ThO<sub>2</sub>, PaO, PaO<sub>2</sub>, XVIII-640  
PuO, PuO<sub>2</sub>, AmO, AmO<sub>2</sub>, GmO, GmO<sub>2</sub> /SKF)

Ackermann R.J., Chantrenne-Kharlamich M.S.

Thermodyn. Nucl. Mater., 1974. Proc. Symp.

Vienna, 1974, Vol 2, Vienna, 1975, 3-25

Discuss 25-26

PuO<sub>2</sub> (κ)

smack 3393

1974.

Flotow H.E. Osborne  
D.W. Sherman M.F.  
Malm J. E.

Cp (4 - 25°K)

H<sub>298</sub> - H<sub>0</sub>, S<sub>298</sub>

Φ\*

Sympo. on thermo-  
dynam. of nuclear  
materials.

Vienna, 21-25 octob. 1974.

Vol.2, 1975, p 477-487

$\text{PuO}_2$

(80-75% вес.  $\text{UO}_2$ )

1974.

9 E1077.. Аналитические выражения для энталпии и теплоемкости окислов урана — плутония. Gibby R. L., Leibowitz L., Kegrisk J. F., Clifton D. G. Analytical expressions for enthalpy and heat capacity for uranium-plutonium oxide. «J. Nucl. Mater.», 1974, 50, № 2, 155—161 (англ.; рез. франц., нем.)

Для описания литературных данных по теплоемкости  $\text{UO}_2$ —(20—25) вес.%  $\text{PuO}_2$  в области т-р от комнатных до  $\sim 3000^\circ\text{K}$  предложено выражение, представляющее собой сумму ф-лы Эйнштейна, линейного члена, учитывавшего тепловое расширение, и экспоненц. выражения, описывающего эффект образования дефектов решетки. Приведена аналогичная ф-ла для энталпии, а также упрощенные ф-лы типа полиномов.

4. 1974 № 9



PuO<sub>2</sub>

\*43-7278

1974

77691b Spectrophotometric absorption study of the (plutonium dioxide)(2+) + chlorine ion  $\rightleftharpoons$  (plutonium dioxide)(+) + 1/2 chloride in the molten mixture of lithium chloride-cesium chloride (55-45 mole %). Landresse, G.; Duyckaerts, G. (Inst. Radiochim., Univ. Liege, Sart Tilman/Liege, Belg.). *Inorg. Nucl. Chem. Lett.*, 1974, 10(11), 1059-68 (Fr). Equil. consts. for the reaction  $\text{PO}_2^{2+} + \text{Cl}^- \rightleftharpoons \text{PuO}_2^+ + 1/2\text{Cl}_2$  in a molten mixt. of LiCl-CsCl [55-45 mole %] were detd. at 400, 450, 500, and 550° using spectrophotometric absorption techniques in the visible and near ir region. Values of  $K$  [atm<sup>1/2</sup>] are  $0.089 \pm 0.005$ ,  $0.132 \pm 0.016$ ,  $0.18 \pm 0.10$ , and  $0.236 \pm 0.050$ , resp. Plots of  $\log D$  vs.  $1/T$  give  $\Delta H = 29.7 \pm 2.5$  kJ mole<sup>-1</sup> and  $\Delta S = 24.0 \pm 3.4$  J mole<sup>-1</sup> degree<sup>-1</sup>. The normal potentials,  $E^\circ \text{Pu}^{4+}/\text{Pu}^{3+}$  -  $E^\circ \text{Cl}_2/\text{Cl}^-$ , were calcd.; at 450° the value is  $-0.126 \pm 0.007$  V. The stability of PuO<sub>2</sub>(VI) increases with decreasing temp. At the same temp. PuO<sub>2</sub>(VI) is more stable in LiCl-CsCl than in the eutectic LiCl-KCl.

W. J. James

C.A 1975-82 N12

1974

\*45-7278



$$(K_p)$$

$$-2435 - \text{BP}$$

7 Е934. Экспериментальное исследование методом абсорбционной спектрометрии равновесия  $\text{PuO}_2^{2+} + \text{Cl}^- \rightleftharpoons \text{PuO}_2^+ + \frac{1}{2}\text{Cl}_2$  в расплаве  $\text{LiCl}-\text{CsCl}$  (55—45 мол. %). Landresse G., Duysckaerts G. Etude par spectrophotometrie d'absorption de l'équilibre  $\text{PuO}_2^{2+} + \text{Cl}^- \rightleftharpoons \text{PuO}_2^+ + \frac{1}{2}\text{Cl}_2$  dans le mélange  $\text{LiCl}-\text{CsCl}$  (55—45% mol.) fondu. «Inorg. and Nucl. Chem. Lett.», 1974, 10, № 11, 1059—1068 (франц.)

Методом абсорбционной спектрометрии в видимой и ближней ИК-области спектра определена константа равновесия р-ции  $\text{PuO}_2^{2+} + \text{Cl}^- \rightleftharpoons \text{PuO}_2^+ + \frac{1}{2}\text{Cl}_2$  в расплаве  $\text{LiCl}-\text{CsCl}$  (55—45 мол. %) при т-рах 400, 450, 500 и 550°. Значения  $\lg K$  составили соотв.  $-1,052 \pm 0,025$ ;  $-0,881 \pm 0,52$ ;  $-0,755 \pm 0,34$ ;  $-0,628 \pm 0,092$ . Из этих данных определены:  $\Delta H = 29,7 \pm 2,5$  кДж/моль,  $\Delta S = 24,0 \pm 3,4$  дж/моль·К и нормальный потенциал пары  $\text{PuO}_2^{2+}/\text{PuO}_2^+ -0,126 \pm 0,007$  в при т-ре 450°.

Г. А. Разумов

x. 1975. № 7

PuO<sub>2</sub>

smmucn 3556

1975

Flotow H.E., et al.

Thermodyn. nucl. mater.

(cp) 1974, vol II, 477 - 488

Proceed. Symp. Vienna,  
1974, 21-25 october.

Prbl. 1975, Int. At. Energy

Agency  
Experimental. heat capacity...

$\text{Ac}_2\text{O}_3$ ,  $\text{ThO}_2$ ,  $\text{PaO}_2$ ,  $\text{NpO}_2$ ,  $\text{Pu}_2\text{O}_5$ ,

1975

$\text{PuO}_2$ ,  $\text{AmO}$ ,  $\text{Am}_2\text{O}_3$ ,  $\text{Cm}_2\text{O}_3$ ,  $\text{ThO}$ ,  $\text{NpO}$ ,  $\text{PuO}$ ,  $\text{CmO}$

( $\Delta H_f$ ,  $D^\circ$ )

XVIII-746

Куликова И.С.

В сб „XI Менделеев съезд по общ. и прикл.  
химии. Ред. догл. и сообщ. № 3. „М. Издн“;

1975, 90-92. Периодические зависимости констант  
активностей и окислов,

ФИХИИ, 1976

551032

М

key esp

12711

PuO<sub>2</sub>

1975

(U, Pu)O<sub>2</sub>

85: 100128w "A unified model for defects in substoichiometric plutonium dioxide and uranium-plutonium mixed oxides", Manes, L.; Manes-Pozzi, B. (Inst. Transuranium Elem., EURATOM, Karlsruhe, Ger.). *Plutonium 1975 Other Actinides, Proc. Int. Conf., 5th 1975* (Pub. 1976), 145-63 (Eng). Edited by Blank, Hubert; Lindner, Roland. North-Holland: Amsterdam, Neth. A statistical model is presented which is capable of treating, in a unified field form, the known thermodn. functions of PuO<sub>2</sub> and (U,Pu)O<sub>2</sub> in the substoichiometric region.

M.g. 4.

(1)

C.A. 1976 85 n14

7075  
UO<sub>2</sub>, PuO<sub>2</sub> (D<sub>D</sub>, G)

Sadiq A.

XVIII-1238

J. Nucl. Sci. Technol., 1975, 12(5)

275-9.

Gaussian approximation for  
phonon frequency distribution  
function for PuO<sub>2</sub> and UO<sub>2</sub>.

C.A. 1975-83 n<sup>b</sup>. 48548a

5 (P)

PuO<sub>2-x</sub>

1976

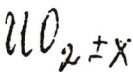
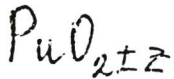
21 Б761. Рентгенографическое исследование диаграммы плутоний — кислород до 1100°. Boivineau Jean-Claude. Etude par rayons X du diagramme plutoniumoxygène de la température ambiante jusqu'à 1100° C. «J. Nucl. Mater.», 1976, 60, № 1, 31—38 (франц.; рез. англ., нем.)

Проведено рентгенографич. исследование фазовых составляющих диаграммы PuO<sub>2-x</sub> при  $1,45 \leq x \leq 2,00$  в интервале 300—1100°. Установлена широкая область гомогенности куб. а-фазы  $1,61 \leq x \leq 1,7^{\circ}$  узкая двухфазная ( $\alpha + \gamma$ )-область, эвтектоидная т-ра 670° для PuO<sub>1,784</sub> и четыре новых типа  $\gamma$ -фаз. Отмечены трудности рентгеновского исследования фаз с низким содержанием кислорода вследствие метастабильности равновесий.

Л. Резницкий

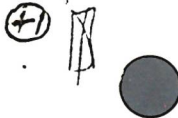
X1976 N 21

1976



85: 69170c The thermodynamic properties of (uranium,= plutonium) oxide( $(\text{U}, \text{Pu})\text{O}_{2\pm z}$ ) described by a cluster model. De Franco, M.; Gatesoupe, J. P. (SEAMA, CEN, Fontenay-aux-Roses, Fr.). *Plutonium 1975 Other Actinides, Proc. Int. Conf., 5th 1975* (Pub. 1976), 133-43 (Eng). Edited by Blank, Hubert; Lindner, Roland. North-Holland: Amsterdam, Neth. A simple model is given which allows the easy calcn. of partial molar enthalpy and partial molar free energy of O at any temp. and O and Pu content for  $\text{PuO}_{2\pm z}$ . Implications on the nature of the defects are drawn, values of their energy of formation are given and their concns. can be calcd.

(measured,  
cb-be)



C.A. 1976. 85 N10

*PuO<sub>2</sub>*

25.15-14770

1976

? 1 Б726. Теплоемкость  $^{242}\text{PuO}_2$  от 12 до 350 К и  $^{244}\text{PuO}_2$  от 4 до 25 К. Энтропия, энталпия и энергия образования Гиббса  $\text{PuO}_2$  при 298,15 К. Flotow Howard E., Osborne Daggell W., Fried Shertman M., Malm John G. Heat capacity of  $^{242}\text{PuO}_2$  from 12 to 350° K and of  $^{244}\text{PuO}_2$  from 4 to 25° K. Entropy, enthalpy, and Gibbs energy of formation of  $\text{PuO}_2$  at 298.15° K. «J. Chem. Phys.», 1976, 65, № 3, 1124—1129 (англ.)

Теплоемкость двух образцов двуокиси плутония  $^{242}\text{PuO}_2$  и  $^{244}\text{PuO}_2$  измерена в изопарараболич. калориметре от 12 до 350 и от 4 до 25 К соотв. Приведен изотопный состав объектов. Нижняя т-ра измерений  $C_p$  лимитировалась саморазогревом вследствие радиоактивного распада. Т-рная зависимость  $C_p$  не имела аномалий. При измерениях вводилась поправка на теплоту распада. Опытные данные обработаны полино-

Х 1977 № 1

ВР VII- 9600

мами, стандар. отклонение индив. точек от сглаженной кривой 0,3—0,4 %. Для 298,15 К  $C_p^\circ = 66,25 \pm 0,26$  дж/моль·град,  $S^\circ = 66,13 \pm 0,26$  дж/моль·град,  $\{G^\circ - H_0^\circ\}/T = -29,96 \pm 0,12$  дж/моль·град и  $H^\circ - H_0^\circ = 10784 \pm 43$  дж/моль. Полученное значение  $S^\circ$  примерно на 2 дж/моль·град ниже приводящегося в лит-ре. Рассчитаны  $\Delta S$ (обр.)  $\text{RuO}_2 = -195,2 \pm 0,4$  дж/моль·град и  $\Delta G$ (обр.) =  $-998,0 \pm 0,7$  дж/моль.

Л. Резницкий

КУ-14770

1976

PuO<sub>2</sub>

1 Е256. Теплоемкость  $^{242}\text{PuO}_2$  от 12 до 350° К и  $^{244}\text{PuO}_2$  от 4 до 25° К. Энтропия, энталпия и энергия образования Гиббса  $\text{PuO}_2$  при 298, 15° К. Flotow Howard E., Osborne Darrell W., Fried Sherman M., Malm John G. Heat capacity of  $^{242}\text{PuO}_2$  from 12 to 350° K and of  $^{244}\text{PuO}_2$  from 4 to 25° K. Entropy, enthalpy, and Gibbs energy of formation of  $\text{PuO}_2$  at 298, 15° K. «J. Chem. Phys.», 1976, 65, № 3, 1124—1129 (англ.)

Сообщаются результаты исследований теплоемкости  $^{242}\text{PuO}_2$  и  $^{244}\text{PuO}_2$  при низких т-рах с помощью адиабатич. калориметра и криостата с жидким гелием. Отме-

ВЧ VIII - 9600



φ 1977 N1

чено, что измерения  $^{242}\text{PuO}_2$  ниже 12° К были затруднены радиационным самонагревом. Температурная зависимость теплоемкости имеет обычный σ-образный вид. При 298,15° К получены значения теплоемкости  $C_p^\circ = 66,25$  дж/К·моль, антропии  $S^\circ = 66,13$  дж/К·моль, энталпии  $H_0^\circ = 10784$  дж/моль, энергии Гиббса  $(G^\circ - H_0^\circ)/T = 29,96$  дж/К·моль. Составлена таблица термодинамич. ф-ций  $\text{PuO}_2$  от 12 до 350° К.

В. Е. Зиновьев

\* 5 - 14770

PuO<sub>2</sub>

85: 199095t Heat capacity of plutonium-242 dioxide from 12 to 350°K and of plutonium-244 dioxide from 4 to 25°K. Entropy, enthalpy, and Gibbs energy of formation of plutonium dioxide at 298.15°K. Flotow, Howard E.; Osborne, Darrell W.; Fried, Sherman M.; Malm, John G. (Chem. Div., Argonne Natl. Lab., Argonne, Ill.). *J. Chem. Phys.* 1976, 65(3), 1124-9 (Eng). Heat capacity measurements were made on a 22.5 g sample of <sup>242</sup>PuO<sub>2</sub> [22898-66-4] from 12 to 350°K and on a 3.6 g sample of <sup>244</sup>PuO<sub>2</sub> [60916-52-1] from 4 to 25°K. The heat capacity curve has the normal sigmoid shape. At 298.15°K, the heat capacity  $C_p^0$ , entropy  $S^0$ , enthalpy  $H^0 - H_{298}^0$ , and tempered Gibbs energy  $(G^0 - H_{298}^0)/T$  are, resp.,  $(66.25 \pm 0.26)$  J °K<sup>-1</sup>.mole<sup>-1</sup>,  $(66.13 \pm 0.26)$  J °K<sup>-1</sup>.mole<sup>-1</sup>,  $(10784 \pm 43)$  J mole<sup>-1</sup>, and  $-(29.96 \pm 0.12)$  J °K<sup>-1</sup>.mole<sup>-1</sup>. This value of the entropy is significantly lower than the one previously derived from heat capacity measurements of <sup>239</sup>PuO<sub>2</sub>. At 298.15°K, the std. entropy of formation and the std. Gibbs energy of formation are  $-(195.2 \pm 0.4)$  J °K<sup>-1</sup>.mole<sup>-1</sup> and  $-(998.0 \pm 0.7)$  kJ mole<sup>-1</sup>, resp.

1976

m. g. cb. b.



BP VIII - 9800

C.A. 1976. 85 n 26

1976

Pu O<sub>2</sub>

Maryles J. A. C.

Plutonium 1975 and other  
Actinides. Proc. 5th Int. Conf.,  
Baden Baden, 1975. Amsterdam  
E.A., 1976, 353 - 350. Discuss.,  
360 (imee)



as Th O<sub>2</sub> - II

$\text{PuO}_2$

1976.

Rise R.W., et al

High Temp. - High Press.

1976, 8(2), 209-15.

( $P_{\Delta H_2}$ )

( $\text{UO}_2$ ) I

PuO<sub>2-x</sub>

1976

18 Б815. Исследование нестехиометрических окислов термоаналитическими методами. Toft Sorensen O. Studies of nonstoichiometric oxides by thermoanalytical methods. «Thermochim. acta», 1976, 15, № 2, 227—237 (англ.)

Обсуждены типы нестехиометрич. окислов переходных элементов и эксперим. методики, используемые для их исследования. Дана схема термогравиметрич. установки, с помощью к-рой изучены окислы PuO<sub>2-x</sub> и CeO<sub>2-x</sub> в интервале 900—1450° и фиксированных парц. давл. кислорода. Результаты измерений представлены в виде графич. зависимостей парц. моляльных свободных энергий кислорода в этих окислах от состава окисла. Установлено существование в этих системах ряда дискретных фаз, разделенных двухфазными областями.

П. М. Чукуров

исследов.  
окислов

Х. 1976 N18

(+) 18

1947

PtO<sub>2</sub> (76)

Barker T. et al

211, p. 566

298-2863

coll. Ag-1

PuO<sub>2</sub>

Bsp - VII - 10 003

1977

16 Б878. Микрокалориметрическое определение парциальной молярной энталпии растворения  $\Delta H(O_2)$  в системе плутоний+кислород при высоких температурах. Chereau Pierre, Dean Guy, Franco Michel De, Gerdanian Paul. High-temperature microcalorimetric measurements of partial molar enthalpy of solution  $\Delta H(O_2)$ , in plutonium+oxygen. «J. Chem. Thermodyn.», 1977, 9, № 3, 211—219 (англ.)

Проведено калориметрич. определение теплот р-ций типа  $\alpha\text{-PuO}_{2-x} + \delta n O_2 \rightarrow \alpha\text{-PuO}_{2-x'}$ , где  $x' = x - 2\delta n/a$ , при 1373 К. Использован микрокалориметр Кальвэ с чувствительностью  $5 \cdot 10^{-5}$  кал/сек·мм. Р-ция окисления проводилась при постоянном объеме и тепловой эффект отражает изменение внутренней энергии  $\Delta U(T, V, a)$ . Калориметр калибровался по р-ции окисления Th, единственным продуктом к-кой является ThO<sub>2</sub>. Исходным

д/р-ция

Х. 1977 . n16

ш.

чий г

в-вом для получения  $\text{PuO}_{2-x}$  служил оксалат Ри, к-рый переводился в  $\text{PuO}_2$  с послед. восстановлением углеродом до состава  $N=n(\text{O})/n(\text{Pu})=1,51$  при 1873—2023 К. 90% введенного  $\text{O}_2$  реагируют в течение первых 3 мин., полное время поглощения  $\text{O}_2 \sim 30$  мин. Обработка кинетич. кривых тепловыделения проводилась с использованием ф-ций Бесселя. Установлено, что в интервале  $N=1,5-1,6$   $\Delta H(\text{O}_2) = -197$  ккал/моль, постоянное значение соответствует двухфазной области  $\text{Pu}_2\text{O}_3 + \text{PuO}_{1,61}$ . Точность измерения  $\Delta H$  около 2%. Для  $N=1,61-1,70$   $\Delta H(\text{O}_2)$  изменяется от —202 до —175 ккал/моль. В интервале  $1,70 < N < 1,71$  имеется плато с  $\Delta H = -175$  ккал/моль, что указывает на очень узкую двухфазную область. Для  $N > 1,71$   $\Delta H$  возрастает непрерывно вплоть до  $\text{PuO}_2$ . Полученные зависимости  $\Delta H$  близки к существующим в системе Ce—O. Для образования  $\text{Pu}_2\text{O}_3$  и  $\text{PuO}_{0,61}$   $\Delta H_{298} = -402,7 \pm 5,0$  и  $-211,4 \pm 4,0$  ккал/моль,  $S_{298} = 38,1 \pm 6$  и  $20,8 \pm 4$  э. е. Методом бомбовой калориметрии определены  $\Delta H_{298}$  р-ций  $1/0,215 \text{PuO}_{1,57} + \text{O}_2 = 1/0,215 \text{PuO}_2$   $-208 \pm 2$  ккал и  $1/0,245 \text{PuO}_{1,51} + \text{O}_2 = 1/0,245 \text{PuO}_2$   $-206 \pm 2$  ккал. Эти величины находятся в хорошем согласии с  $\Delta H$ , найденными при 1373 К и равными  $-210 \pm 7$  и  $-207 \pm 7$  ккал соответственно. Библ. 26.

Л. Резницкий

$PuO_{1,52}$

[77 CHE/DEA]

B4P-VII-10003

1977

Chereau P., Dean J., de Franco M., Gerdanian P.

Биокоррозия, микрокапсулы, измерение  
"нагревающих Марковых температур"  
D-peaks,  $\delta\text{-H(O}_2)$ , в системе Pu + O  
J. Chem. Therm., 1977, 9, p. 211-219

Pielz commun 7924 1978

Breeding P., et al.

méthod.  
cb. 60.

"Rev. int. hautes temp. et  
refract." 1978, 15, N°, 333-46



coll. UO<sub>2</sub> - 1

$PuO_2^+$

1978

( $F_{cras}$ )

Moskovin A.I. et al.  
Zh. Koord. Khim. 1978, 4(4),  
1065-74



all.  $NpO_2^+$ -I

1979

PuO<sub>2-x</sub>

CeO<sub>2-x</sub>

measured  
Cs - Ba,  
ctlyne.

91: 217887h Model of the thermodynamic properties and structure of the nonstoichiometric plutonium and cerium oxides. Manes, L.; Mari, C.; Ray, I.; Soerensen, O. T. (Eur. Inst. Transuranium Elem., Comm. Eur. Communities, Karlsruhe, Fed. Rep. Ger.). Report 1979, INKA-Conf-79-003-005, IAEA-SM-236/6, 20 pp. (Eng). Avail. INIS. From INIS.

Atomindex 1979, 10(15), Abstr. No. 466479. The tetrahedral defect consisting of one O vacancy bonded to 2 reduced cations is an important concept, which can explain both the thermodyn. properties and the structures of the phases of the PuO<sub>2-x</sub> and CeO<sub>2-x</sub> systems. Based on this concept a statistical thermodyn. model was developed; it is described along with some preliminary calcs. A relatively good agreement with exptl. thermodyn. data was obtained. By using the exclusion principle, defect complexes (each contg. one tetrahedral defect) are derived and it is shown that a systematic packing of these gives a good description both of the nonstoichiometric and the ordered phases obsd. for these oxide systems.

(+1) 12

C.A. 1979, 61, 126

$PuO_2^+$

$Pu^{3+}$

(46f)

1979

✓ 93: 156605g Thermodynamics and kinetics of valence transitions of plutonium in a sodium chloride-2-(cesium chloride) ( $NaCl-2CsCl$ ) melt. Vavilov, S. K.; Kazantsev, G. N.; Gushchin, V. V.; Shishalov, O. V. (USSR). *Fiz. Khim. Elektrokhim. Rasplavl. Tverd. Elektrolitov, Tezisy Dokl. Vses. Konf. Fiz. Khim. Ionnykh Rasplavov Tverd. Elektrolitov, 7th 1979, 1, 132-4* (Russ). Akad. Nauk SSSR, Ural. Nauchn. Tsentr: Sverdlovsk, USSR. The thermodn. of the reactions  $Pu^{4+} + Cl^- \rightleftharpoons Pu^{3+} + 0.5Cl_2$  and  $PuO_2^{2+} + Cl^- \rightleftharpoons PuO_2^+ + 0.5Cl_2$  and the kinetics of valence transition reactions of Pu in  $NaCl-CsCl$  melts were studied at 550-800: the free energies of the above reactions and the rate of the reactions were detd. as functions of temp.

(+1) ⊗

C.A. 1980, 93, N16

1979

Pill<sub>2</sub>

Young R.

924.  
CBR

J. Neil. Ritter, 1979, 84,  
N.2-3, 283-96

Lle Thos ; I

erőt Y Megbęgeba! 1980

PuO<sub>2-x</sub>

CeO<sub>2-x</sub>

M. Geiss.

Ch - 62

SA: 146210f Model of the thermodynamic properties and structure of the nonstoichiometric plutonium and cerium oxides. Manes, L.; Mari, C. M.; Ray, I.; Soerensen, O. Toft (Eur. Inst. Transuranium Elements, Commission Eur. Communities, Karlsruhe, Fed. Rep. Ger.). *Thermodyn. Nucl. Mater., Proc. Int. Symp.* 1979 (Pub. 1980). 1, 405-26 (Eng). IAEA: Vienna, Austria. The tetrahedral defect consisting of 1 O vacancy bonded to 2 reduced cations, a  $2(M^{3+})^1Vo$  unit, is an important concept which can explain both the thermodn. properties and the structures of the phases of the PuO<sub>2-x</sub> and CeO<sub>2-x</sub> systems. Based on this concept, a statistical thermodn. model was developed and this model is described together with some preliminary calens. A relatively good agreement with exptl. thermodn. data was obtained in this calen. Using the exclusion principle, defect complexes each contg. 1 tetrahedral defect are derived. A systematic packing of these gives a good description both of the non-stoichiometric and the ordered phases obsd. for these oxide systems.

(4)

X

C.A. 1981.27 N18

$\text{PuD}_2(\text{z})$  Lorraine 9093.) 1980

$\text{PuO}(\text{z})$  Green D.W.

14f, Haroloy, J. Niel, Mater.

26f, illegible, 1980, 88, 51-63.

Lammera 118531. 1980.

Pu-Okeedel (?)

T. ch. razole  
do 6000K

Green S.W.

(SHF) Rept 1980, ANZ-CEN -  
- RSD -80-1; 20pp.



(e.m. H-Okeedel; ??)

$\text{PuO}_2$

Green D.W. 1980

2464

Epnucleoba

Int. J. Thermophys. 1980,

1, p. 61 (~~Engg~~)



$\Delta H_f \text{ PuO}_2$ ,  
r

$\text{PuO}_2$

$(\text{U-Pu})\text{O}_2$

phys. quanp;  
nephlogit.  
 $\text{Cs-Ba}$

1980

'95: 122331r Thermodynamic aspects of the use of oxides as nuclear reactor fuels. Potter, P. E.; Rand, M. H. (At. Energy Res. Establ., Harwell/Didcot, Engl.). *High Temp. Sci.* 1980, 13(1-4), 315-29 (Eng). A review with 46 refs. The application of thermodn. to aid in understanding the complex phys. chem. occurring in an irradiated nuclear fuel is reviewed. Emphasis is placed on current problems, under 5 topics: (1) basic data: phase diagram and thermodn. properties of  $\text{PuO}_2$  and  $(\text{U-Pu})\text{O}_2$ . (2) Mass transport: movement of Pu, U, O, C, and fission products. (3) Chem. effects of fission: reactions between fuel and clad. (4) Reactions with coolants. (5) Safety aspects: behavior >3000 K.

(f1)



C.A. 1981, 95, N 14.

1980

PuD<sub>2</sub>

(CP)

MacInnes & A., et al.,

J. Nucl. Mater., 1980,  
89, Nd-3, 254-258

(all: UO<sub>2</sub>; I)

PuO<sub>2</sub>

[SDRAT/SER]

1980

(or)

Rai, D., Serne, R.F., Moore, D.A.

"Influence of plutonium compounds  
on soil solubility and their behavior in soils",  
Soil. Sci. Soc. Am. J., 1980, 44, p.430-35

$\text{PuO}_2^{3+}$

1980

$\text{PuO}_2^+$

Смущене В.Н., Покров Т.В.

$\text{PuO}_2^{4+}$

Радиохимия

Радиохимия, 1980,

22 (4), 473-8

Часовник  
Покров

Смущене



(авт.  $\text{UO}_2^{2+}$ ;  $\text{III}$ )

$\text{PuO}_2$   
(or)

[82 GLU/GUR]

1982

Glushko V.P., Gurvich L.V., Bergman B.S.  
T. op-gam Veits I.V., Medvedev V.A., Khachikyan G.A.

$T_{\text{fus.}}$  Yungman V. S.

„Thermodynamic properties of  
individual substances, 1982, 4,  
Moscow, USSR, Nauka

$$T_{\text{fus}} = (2663 \pm 40) \text{ K}$$



$$\Delta_{\text{fus}} H = (64 \pm 15) \text{ kJ} \cdot \text{mol}^{-1}$$

$PuO_2$  (K)

$PuO, PuO_2(z) - K_p$

1982

/ 98: 133958p Vapor pressures and vapor compositions in equilibrium with hypostoichiometric plutonium dioxide at high temperatures. Green, D. W.; Fink, J. K.; Leibowitz, L. (Argonne Natl. Lab., Argonne, IL USA). Report 1982, ANL-CEN-RSD-82-1; Order No. DE83000930, 52 pp. (Eng). Avail. NTIS. From Energy Res. Abstr. 1983, 8(2), Abstr. No. 2618. Vapor pressures and vapor compns. in equil. with a hypostoichiometric  $PuO_2$ ; condensed phase were calcd. for the temp. range  $1500 \leq T \leq 4000$  K. Thermodn. functions for the condensed phase and for each of the gaseous species were combined with an O-potential model to obtain the partial pressures of  $O_2$ , O, Pu,  $PuO$ , and  $PuO_2$ . New thermodn. functions for the solid oxide were calcd. from available information and from new ests. of the heat capacity of the liq. Thermodn. functions for the vapor species were calcd. previously. A suitable O-potential model was used previously for the solid hypostoichiometric  $PuO_2$ ; this model was extended into the liq. region using several alternative methods. The effects of these alternatives on the calcd. O pressures were examd.

(P)

metalog.

$\varphi - K_p$

C.A. 1983, 98, N 16.

$PuO_{(2)}(K_p)$   
 $PuO_2(2)(K_p)$

$(U, Pu)O_2$

1982

Magill J., Cercignani,  
et al.

(P) High Temp. - High Pre-  
ssures 1982, 14 (4),  
441-448.

(cer.  $UO_2$ ;  $\text{I}^-$ )

PuO<sub>2</sub>(IV)) Fink J. K. Ommen 15225 | 1982

Int. J. Thermophys.,

[82FIN] 1982, 3, p. 165-200

"Enthalpy and heat capacity of the actinide oxides"

(yp-mue der Temperatur von PuO<sub>2</sub> do 2500K  
 $C_p = 84,495 + 10,639 \cdot 10^{-3}T - 6,1136 \cdot 10^{-7}T^2$

●  $-19,00564 \cdot 10^{-5}T^{-2}$

(298 - 2500K)

PtO<sub>2</sub>

Omnick 15225

1982

Fink J. K.,

H<sub>T</sub>-H<sub>C</sub>,

C<sub>p</sub>;

Int. J. Thermophys.,  
1982, 3, N<sub>o</sub>, 165-200.

$\text{PuO}_2$

Orn. 42 314

1982

Detting F. L.

J. Nucl. Mater., 1982, 105, pp. 257-261

$H_T - H_{998}$  VII Borokatow - Er-Metallurgie  $\text{PuO}_2$   
353,5 1610 K (1670 K)  
353,5 - 1610,7 Temperatur 908 - 2400 K

$$C_p = A(2) + 3A(3)T^2 - A(4) \cdot T^{-2}$$



*PuO<sub>2</sub>*

*V.L. Резинский*

*1982*

21 Б908. Химическая термодинамика ядерных материалов. VII. Высокотемпературная энталпия диоксида плутония. Oetting Franklin L. The chemical thermodynamics of nuclear materials. VII. The hightemperature enthalpy of plutonium dioxide. «J. Nucl. Mater.», 1982, 105, № 2—3.—257—261 (англ.)

Энталпия  $\text{PuO}_2$  измерена методом смешения с использованием изопешиболич. калориметра в интервале 298—1610 К с точностью  $\pm 0,3\%$ . Образец охарактеризован химически, рентгенографически и по изотопному составу. Опытные данные хорошо согласуются с лит. Результаты совместной обработки собственных и лит. данных описаны ур-ием  $H_T - H_{298} = -8,345 \cdot 10^3 + 2,187 \cdot 10 T + 2,536 \cdot 10^{-7} T^3 + 5,422 \cdot 10^5 T^{-1}$  кал/моль. Представлена таблица значений  $S$  и  $H_T - H_{298}$  для интервала 298—2400 К. Пред. сообщ. см. «J. Nucl. Mater.», 1980, 88, 265.

Л. А. Резинский

*H-H<sub>0</sub>, f  
298—1610 K*

*X. 1982, 19, N21*

*Из Ученых Записок*

$\text{PuO}_2(\text{K}_{\text{H}})$

H-H<sub>2</sub>S8

298-1610

1982

Octing. F. L., Bixby G.E.

1982, J. Nucl. Mat. 105, 257-261

(N2-3)

VII The high temperature enthalpy of plutonium dioxide.

Н-Мес азмеркас баянблалы

(353-1610) к.

(жакшылдык көмек)

PuO<sub>2</sub> Setting F.L., Bixby G.E. 1982

[82DET]

H-Mass

(353-1610K)

J. Nucl. Mater., 1982, 105, N<sub>2-3</sub>)  
257-261

The chem. therm. of nucl. mater.,

VII The high-temp. enthalpy  
of plutonium dioxide.

B Tausz Danner  
H. Jentzen,

PuD<sub>2</sub>(K)

1982

Panzkratz L.B.

(298-2500) Thermodynamic Properties  
of Elements and Oxides  
USA Bur. Mines Bull. 672.

• (yillegbegelba)

PuO<sub>2</sub>

1982

з в 1879. Определение растворимости оксидов нептуния и плутония в галогенидных расплавах. Родионов Ю. И., Чеплагина О. В., Максимов В. Ф., Клокман В. Р. «2 Всес. конф. по химии нептуния и плутония, Ленинград, 23—25 нояб., 1982. Тез. докл.» Л., 1982, 30

растворим.  
в  
расплавах

(4) 17

X. 1983, 19,  
n3

Методом изотермич. насыщения определены р-римости (Pc)  $\text{PuO}_2$  (I) и  $\text{NpO}_2$  (II) в расплавах  $\text{NaCl}$  (III) и смесей LiF и KF в зависимости от т-ры и присутствия оксидов щел. и щел.-зем. металлов. В равных эксперим. условиях Pc II в расплавах III при т-рах 820—1020° С имеет величину в области  $n \cdot 10^{-2}\%$  и на порядок больше, чем Pc I. Введение оксидов щел. и щел.-зем. металлов в III снижает Pc I. В расплавах LiF—KF при прочих равных условиях Pc I несколько выше, чем в III. Отмечается, что расчет по ур-нию Шредера дает результаты на несколько порядков выше эксперим. Pc. Методом ДТА установлено, что в интервале т-р 25—1000° С I и II не взаимодействуют с III в его расплавах. Обсуждается механизм р-рения оксидов многовалентных металлов в расплавах ионных солей.

Л. В. Арсеенков

$\text{PuD}_2^{+2}(\text{aq})$  | Om. 16995 | 1983

Fuger J.

полиграфо оц. J. Fuger  
в ежес. 1983,

составу рока неє -  
це застосувані  
кислоти

Pielask

1983

199: 11208u Vapor pressures and vapor compositions in equilibrium with hypostoichiometric plutonium dioxide at high temperatures. Green, D. W.; Fink, J. K.; Leibowitz, L. (Chem. Technol. Div., Argonne Natl. Lab., Argonne, IL 60439 USA). ACS Symp. Ser. 1983, 216(Plutonium Chem.), 123-43 (Eng). Vapor pressures and vapor compns. in equil. with hypostoichiometric  $\text{PuO}_2$  condensed phase were calcd. for 1500-4000 K. Thermodn. functions for the condensed phase and for each of the gaseous species were combined with an O-potential model to obtain the partial pressures of  $\text{O}_2$ , O, Pu,  $\text{PuO}$  and  $\text{PuO}_2$  as function of temp. and condensed phase comprn. The calcd. O pressure increases rapidly as stoichiometry is approached. The vapor in equil. with hypostoichiometric  $\text{PuO}_2$  is poorly approx. by  $\text{PuO}_2$  for most of the temp. and comprn. range of interest.

P, nephlogue  
qp - III;

C.A. 1983, 89, n2

PuO<sub>2</sub>

1983

1 Б3081. Давление и состав пара при высоких температурах над диоксидом плутония с обедненной по кислороду стехиометрией. Vapor pressures and vapor compositions in equilibrium with hypostoichiometric plutonium dioxide at high temperatures. Green D. W., Fink J. K., Leibowitz L. «Plutonium Chem. Symp. 184 th Meet. Amer. Chem. Soc., Kansas City, Mo., Sept. 12—17, 1982». Washington, D. C., 1983, 123—143 (англ.)

В интервале т-р 1500—4000 К и, составов  $0,006 \leq x \leq 0,300$  рассчитаны давл. и состав пара над  $\text{PuO}_{2-x}$ . Расчет основан на том, что в газовой фазе имеются  $\text{O}_2$ ,  $\text{O}$ ,  $\text{Pu}$ ,  $\text{PuO}$  и  $\text{PuO}_2$  и что изменения состава и св-в конденс. фазы описываются т-рной зависимостью хим. Пт  $\text{O}_2$ . Расчет парц. давл. в равновесии с фазой  $\text{PuO}_{1,96}$  показал, что ниже 2652К — т-ры начала плавления, в паре преобладает  $\text{PuO}_2$ . Выше 2668К — т-ры ликвидуса, пар состоит из  $\text{O}_2$  и  $\text{O}$ . Аналогично системе  $\text{U}-\text{O}$  относит. содержание кислорода в газовой фазе по сравнению с конденс. фазой увеличивается с ростом температуры. В. В. Чепик

Х. 1986, 19, N 1

$PuO_2^{2+}$

$PuO_2^+$

1983

24 Б977. Изучение кислородных соединений плутония в расплаве эвтектической смеси хлоридов натрия и цезия. Савочкин Ю. П., Скиба О. В. «Радиохимия», 1983, 25, № 4, 503—507

Методами спектрофотометрии расплавов и гетерогенного равновесия изучен равновесный состав смеси валентных форм плутония, появляющихся при окислении  $Pu^{3+}$  хлор-кислородными газовыми смесями в расплаве эвтектики  $NaCl-CsCl$ . Определены константы равновесия р-ций  $PuO_2^{2+} + Cl^- \rightleftharpoons PuO_2^+ + 1/2Cl_{2(g)}$ ,  $PuO_2^+ + Cl^- \rightleftharpoons PuO_{2(t\bar{v})} + 1/2Cl_{2(g)}$ . Показано, что при т-рах выше  $700^\circ C$  в расплаве, кроме оксиионов  $PuO_2^+$  и  $PuO_2^{2+}$ , появляется новая кислородная форма плутония, предположительно  $PuO^{2+}$ .

Резюме

Х. 1983, 19, № 24

$\text{PuO}_2^{2+}/\text{PuO}_2^+(\text{aq})$  1984

Blanc P., Madec C.

Inorg. Chem. Acta, 1984,  
S; 94, N 1-3, 134 - 136.

( $\text{act. } \text{NpO}_2^{2+}/\text{NpO}_2^+(\text{aq}), ?$ )

$\text{PdO}_2^+$

[Om. 23459]

1984

$\text{PdO}_2^{2+}$

Marcus Y., Loewenscheess H.,

Si

Ann. rept. Progress Chemist -  
cy, section C, Physical Che-  
mistry, 1984, C81, 81-135,  
Chem. Soc. (London).

PuO<sub>2</sub> [84 RAI] 1984

(or) Rai D.

Apparent solubility product of Pu(IV)  
hydrous oxide and equilibrium  
constants of Pu(IV)/Pu(II),  
Pu(IV)/Pu(VI) and Pu(VI)/Pu(II) couples.  
Radiochim Acta 1984, 35, 97-106 p

Pu.D.

[Om. 21695]

1984

Пионор H. D., Супомбекский д. л.,

желание  
окраски.  
-847°  
Ученые записки, 1984, 53,  
66н. 9, 1425 - 1462.

$PuO_2$

Cm. 42329

1985

$$T_m = 2701 \pm 20$$

1/2 gen. Electric Company, Sunnyvale, California  
Adamson H.G., FITKEN E.A., Caputi R.W

J. Nucl. Mater., 1985, 130, p. 349-365

ЭКС. и ТЕРМОДИФ. ИССЛЕДОВАНИЕ ТЕМПЕР., ПРИБЫТИЯ  
ПОДИОКАРБИЧИХ ОКСИДНЫХ МОНОЛИТ-

$BaO$   $T_m$  2242  $\bar{S}rO$  2938  $BaZrO_3$   $SrZrO_3$   
2978 2970K

$BaUO_3$   $T_m = 2723$

$SrUO_3$  — 1 —

PuD<sub>2</sub>-2

1986

14 Б3029. Уточнение термодинамических свойств  $\text{PuO}_{2-x}$  и  $\text{U}_{1-x}\text{Pu}_x\text{O}_w$ . Improvement in the chemical thermodynamic representation of  $\langle \text{PuO}_{2-x} \rangle$  and  $\langle \text{U}_{1-x}\text{Pu}_x\text{O}_w \rangle$ . Besmann T. M., Lindemer T. B. «J. Nucl. Mater.», 1986, 137, № 3, 292—293 (англ.)

С целью уточнения описания системы  $\text{PuO}_{2-x}$  в обл. несмешиваемости о.ц.к.- и г.ц.к.-фаз при  $1,7 < 0/\text{Pu} > 2,0$  произведена подгонка хим. потенциала  $\text{O}_2$  в термодинамич. ур-ниях в обл. малых отклонений от стехиометрии при  $0,05 < x < 0,3$  по координатам максимума несмешиваемости (930 К,  $x = 0,125$ ). Аналогичная операция произведена и для системы  $\text{U}_{1-x}\text{Pu}_x\text{O}_w$ . Вычисленные изоплеты совпадают с лит. данными. Потенциал  $\text{O}_2$  сдвигается в сторону положит. значений ниже  $W=2$  при  $T > 1300$  К и в сторону отриц. значений при  $T < 1300$  К.

Л. А. Резницкий

термоин-  
сф-фа

(A)

ж. 1986, 19, № 14

$\text{PuO}_2^+$ (aq)

(Am. 25041)

1986

$\text{PuO}_2^{+2}$ (aq)

David F.,

J. Less - Common  
Metals, 1986, 121,

S. S. H.



27 - 42.

PuO<sub>2-x</sub>

1986

104: 156673y Improvement in the chemical thermodynamic representation of plutonium oxide ( $\text{PuO}_{2-x}$ ) and uranium

plutonium oxide ( $\text{U}_{1-x}\text{Pu}_x\text{O}_w$ ). Besmann, T. M.; Lindemer, T. B. (Chem. Technol. Div., Oak Ridge Natl. Lab., Oak Ridge, TN 37831 USA). *J. Nucl. Mater.* 1986, 137(3), 292-3 (Eng). The O potential-temp.-comprn. data of B. and L. (1985) were refit with the coeffs. of the 1st order term forced so that the calcd. miscibility gap appears at the obsev. temp. and comprn.

KUN-MEYER

(+) ⊗ U<sub>1-x</sub>P<sub>x</sub>O<sub>w</sub>

E. A. 1986, 104, N 18.

$\text{PuO}_2^{n+}$  1986  
 $(n=1-2)$  ellarcus Yizhak,  
Loewenschuss Aharon.

measured J. Chem. Soc., Faraday  
Trans I 1986, 82 (9), 2873-  
86.  
CB-6a

(cell.  $\text{UO}_2^{n+} \cdot \text{I}$ )

Pu - O  
исследов.

[Dm. 25391]

1987

Besmann T.M.,

Физ. патн.  
и термия.

J. Nucl. Mater., 1987,  
144, N 1/2, 141-150.

PuO<sub>x</sub>

Om. 25391 | 26537 | 1987

6 E772. Фазовые равновесия и термодинамика системы Pu—O: 1400—1610 K. Phase equilibria and thermodynamics of the Pu—O system: 1400 K to 1610 K. Besmann T. M. «J. Nucl. Mater.», 1987, 144, № 1—2, 141—150 (англ.)

Для построения диаграммы состояния системы Pu—O использована методика определения равновесного давления CO над смесью PuO<sub>2</sub> и графита. Установлено, что фазы PuO<sub>2-x</sub> (гцк), PuO<sub>1,65</sub> (оцк) и PuO<sub>1,5</sub> (гексагональная) имеют широкие области гомогенности. Фаза PuO<sub>2-x</sub> претерпевает эвтектоидный распад при  $T < 400$  К. Т-ра перитектоидной реакции для фазы PuO<sub>1,65</sub> находится в интервале 1400—1500 К. Фазовые равновесия, определенные при т-рах 1400—1610 К, находятся в хорошем соответствии с данными для высокотемпературной и низкотемпературной частей диаграммы состояния Pu—O. Вычислены свободные энергии образования Pu<sub>1,65</sub> и Pu<sub>1,5</sub>, согласующиеся с величинами, определенными другими методами. Библ. 25.

И. А. К.

ф. 1987, 18, № 6.

PuO<sub>1,533</sub>

PuO<sub>1,5</sub>

Ом. 25391

1987

11 Б3049. Фазовые равновесия и термодинамика системы Pu—O от 1400 до 1610 К. Phase equilibria and thermodynamics of the Pu—O system: 1400 K to 1610 K. Besmann T. M. «J. Nucl. Mater.», 1987, 144, № 1—2, 141—150 (англ.)

Термодинамические св-ва системы Pu—O изучены методом гетерог. равновесий в атмосфере CO в интервале 1400—1610 К. Всего измерены  $P_{CO}$  и табулированы  $P_{O_2}$  для 128 составов с различными O/Pu при 1400, 1500 и 1610 К. Установлена диаграмма состояния системы и определены области гомогенности фаз  $PuO_{2-x}$ ,  $PuO_{1,65}$  и  $PuO_{1,5}$ . Фаза  $PuO_{1,65}$  является нестабильной при  $1400 < T < 1500$  К, а  $PuO_{2-x}$  подвергается эвтектоидному распаду при  $T < 1400$  К с образованием  $PuO_{1,605}$ . Определены  $-\Delta_f G$  (1400 К, кДж/моль)  $PuO_{1,533}$  (гекс.) 649,9 и  $PuO_{1,5}$  (гекс.) 639,1, к-рые удовлетворительно согласуются с литературными.

Л. А. Резницкий

X. 1987, 19, N 11.

PuO<sub>2</sub>

1987

14 Б3063. Масс-спектрометрическое исследование карботермического восстановления диоксида plutония.

Омити Т., Сузуки Я., Орай Я., Сасаяма Т., Маeda А.  
«Атом. техн. за рубежом», 1987, № 1, 38—42

В интервале т-р 1593—1673 К с помощью масс-спектрометра, оборудованного W-эффузционной ячейкой Кнудсена, исследован состав пара над системой C—PuO<sub>2</sub> с соотношением компонентов C:PuO<sub>2</sub>=3 (1) и C:PuO<sub>2</sub>=4,4 (2). В обоих случаях в газовой фазе зарегистрированы Pu, PuO и CO. Показано, что в процессе расходования в-ва при испарении система (1) проходит через след. фазовые области: PuO<sub>2-x</sub>+C, PuO<sub>1,61</sub>+PuO<sub>1,5</sub>+C, PuO<sub>1,5</sub>+PuC<sub>1,5</sub>+C, PuC<sub>1,5</sub>+PuO<sub>1,5</sub>+PuC<sub>x</sub>O<sub>y</sub> и PuC<sub>x</sub>O<sub>y</sub>+PuC<sub>1,5</sub>. Конечный продукт испарения системы 2 — смесь PuC<sub>1,5</sub> и C. При этом составе

kp:

X.1987, 19, N14

$\Delta_{\text{sub}}H_T(\text{Pu}) = 400 \pm 10$  кДж/моль для  $T = 1800 - 1900$  К.  
Для равновесия  $2 \text{ PuC}_{1.5}(\text{s.}) + 3 \text{ PuO(g.)} = 3 \text{ CO} + 5 \text{ Pu(g.)}$  рассчитана зависимость  $\ln P_{\text{CO}}(\text{Па}) = -72400/T + 42,6 + \ln P_{\text{PuO}} - 5/3 \ln P_{\text{Pu}}$ . Отмечено аномальное поведение примеси Am в исходных образцах: при  $T = 1593$  К парц. давления Am и AmO возрастают во времени по параболич. закону, тогда как давл. Pu достигается максимума и уменьшается.

Ю. С. Ходеев

PuDz

Om. 27753

1987

Ralph J.,

cp;

J. Chem. Soc. Faraday  
Trans, 1987, Pt 2, 83, N<sup>7</sup>,  
1253-62.

$\text{PuO}_2$   
(or)

[89 KIM/KAN]

1989

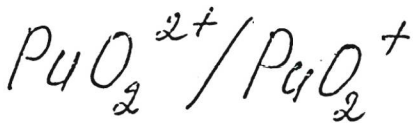
$\beta$ -muons Kim Y.T.; Kanellakopulos, I.,  
Mang, M., Herrmann, G., Traktmann, N.,  
"Solubility of  $\text{PuO}_2$  and  $\text{Pu(OH)}_4$   
and electrophoretic speciation of  
Np ions." Tech. Rep. RCM-00889, Inst.  
für Radiochem. ie. Technische Universi-  
tat München, ● München, 1989, 28 p.

$\text{PuO}_{9.2}$

93STA/XAR

1993

Stake Lake J.-L., Larson D.T., Haschke J.M.  
J. Alloys Compd., 1993, v. 202, p. 251-263  
characterization of the plutonium -  
water reaction II: Formation of a binary  
oxide containing  $\text{Pu}(\text{VI})$ .



1995

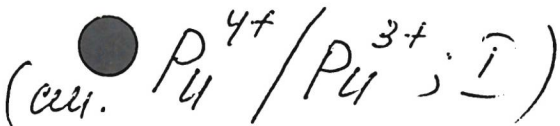
Capdevila H., Vitorge P.

mesoorg.  
cf-fa,

Radiochim. Acta

1995, 68(1), 57 - 62.

So, G



Piida

Lam. 40361

1999

Capone F., Colle Y. et al.,

J. Phys. Chem. 1999,  
103, 10899 - 10906.

Mass fraction metrical measure  
ment of the Ionization

Energies and Cross Sections  
of Uranium and Plutonium  
Oxide Vapors.

F: PuO<sub>2</sub>(am)

P: 1

132:199634 A thermodynamic model for the solubility of PuO<sub>2</sub>(am) in the aqueous K+-HCO<sub>3</sub>--CO<sub>3</sub><sup>2-</sup>-OH--H<sub>2</sub>O system. Rai, Dhanpat; Hess, Nancy J.; Felmy, Andrew R.; Moore, Dean A.; Yui, Mikazu; Vitorge, Pierre Pacific Northwest National Laboratory Richland, WA 99352, USA

Radiochim. Acta, 86 (4), 89-99 (English) 1999  
R. The solv. of PuO<sub>2</sub>(am) was detd. in the aq. K--HCO<sub>3</sub>--CO<sub>3</sub><sup>2-</sup>--OH--H<sub>2</sub>O system extending to high concns. of carbonate and bicarbonate. X-ray absorption spectroscopy (XAS) and solvent extn. were used to identify species and ox states in the aq. phase. The dominant aq. species in relatively concd. C and

1999

C.A. 2000, 132

HCO<sub>3</sub><sup>-</sup> solns. were detd. by XAS to be Pu(CO<sub>3</sub>)<sub>5</sub>6-. The solv. of PuO<sub>2</sub>(a) increased dramatically with increasing total carbonate concns.; indicatin that carbonate makes strong complexes with Pu(IV). The dominant Pu(IV)- carbonate species that reasonably described all of the exptl. data were Pu(CO<sub>3</sub>)<sub>5</sub>6- in high concns. of carbonate and bicarbonate and Pu(OH)<sub>2</sub>(CO<sub>3</sub>)<sub>2</sub> in low concns. of bicarbonate. Data suggest the possible presence of ano species in the low carbonate and high pH region. However, because of uncertainty in Pu(IV) concns. in this region, no attempt was made to fit data in this region. The logarithm of the thermodn. equil. consts. for the PuO<sub>2</sub>(am) dissoln. reactions involving Pu(CO<sub>3</sub>)<sub>5</sub>6- and Pu(OH)<sub>2</sub>(CO<sub>3</sub>)<sub>22-</sub> [(PuO<sub>2</sub>(am) + 5CO<sub>3</sub><sup>2-</sup> + 4H<sup>+</sup> .dblarw. Pu(CO<sub>3</sub>)<sub>5</sub>6- + 2H<sub>2</sub>O) and (PuO<sub>2</sub>(am) + 2HC .dblarw. Pu(OH)<sub>2</sub>(CO<sub>3</sub>)<sub>22-</sub>)] were found to be 33.32 and -4.78, resp. These values, when combined with the solv. product of PuO<sub>2</sub>(am) (logK<sub>sp</sub> = -56.85 [1]), provic logarithm of the equil. consts. of 34.18 and 44., resp., (Pu<sup>4+</sup> + 5CO<sub>3</sub><sup>2-</sup> .dblarw. Pu(CO<sub>3</sub>)<sub>5</sub>6-) and (Pu<sup>4+</sup> + 2CO<sub>3</sub><sup>2-</sup> + 2OH<sup>-</sup> .dblarw. Pu(OH)<sub>2</sub>(CO<sub>3</sub>)<sub>22-</sub>).

F: PuC

P: 1

1999

132:69595 Ab initio calculation of the potential energy function and thermodynamic functions for ground state X5.sum.- of PuO. Gao, Tao; Wang, Hong-Yan; Yi, You-Gen; Tan, Ming-Liang; Zhu, Zheng-He; Sun, Ying; Wang, Xiao-Lin; Fu, Yi-Bei Institute of Atomic and Molecular Physics, Sichuan University

Chengdu 610065, Peop. Rep. China Wuli  
Xuebao, 48(12), 2222-2227 (Chinese) 1999 The potential energy function for ground state X5.sum.- of the PuO mol. was worked out by the quadratic CI of single and double substitution method, based on the approxn. of relativistic effective core potential for Pu atom and all-electron 6-311G\* basis set for O atom. The calcd. results for Re, De, Be, .alpha.e, .omega.e and .omega.e.chi.e are 0.183 nm, 7.3909 eV,

C.A. 2000, 132

0.3365, 0.001642, 781.15, and 2.77 cm<sup>-1</sup>, resp. In addn., the thermodn. functions .DELTA.H.degree., .DELTA.S.degree., .DELTA.G<sub>0</sub> and Cp of the PuO(g) in the std. state are also calcd., which are -118.88 kJ/mol, 96.16 J/mol.cntdot.K, -147.55 kJ/mol, and 31.5656 J/mol.cntdot.K, resp. All these results are in good agreement with the exptl. data.

*2000*

F: PuO<sub>2</sub>

P: 1

133:286797 An ab initio study of PuO<sub>2</sub> and of  
PuN<sub>2</sub>. Archibong, E. F.; Ray, A. K. Department of  
Physics, University of Texas at Arlington  
Arlington, TX 76019, USA THEOCHEM,  
530(1,2), 165-170 (English) 2000. Ab initio  
electronic structure calcns. using correlated wave  
functions were performed to investigate the  
structures, vibrational frequencies and energetics  
of PuO<sub>2</sub> and PuN<sub>2</sub> mols. in their low-lying  
electronic states. For PuO<sub>2</sub>, the 5.SIGMA.g+-  
[(1.delta.u)<sup>2</sup>(1.phi.u)<sup>2</sup>] and the 5.PHI.u-

$[(1.\delta.u)2(1.\phi.u)1(4.\sigma.g)1]$  states are found to be nearly degenerate. However, frequency considerations indicate that the 5.SIGMA.g+ state is the preferred candidate for the ground state. The CCSD(T) computed vertical ionization energy of PuO<sub>2</sub> of 9.92 eV compare favorably with the exptl. detd. ionization energy of 9.43 eV. For PuN<sub>2</sub>, the 3.PI.g- $[(1.\delta.u)1(1.\phi.u)1]$  state is predicted to be the ground state. The .omega.3 mode frequency computed for the 3.PI.g ground state at the CCSD and CCSD(T) levels, when scaled by 0.93 and 0.92, resp., agrees perfectly with the .nu.3 frequency of 1030 cm<sup>-1</sup> reported from IR matrix isolation studies.

2000

F: PuO<sub>2</sub>

P: 1

133:271921 All-electron density functional theory calculations of the zero-pressure properties of plutonium dioxide. Boettger, Jonathan C.; Ray, Asok K. Los Alamos National Laboratory Los Alamos, NM 87545, USA AIP Conf. Proc., 532(Plutonium Futures--The Science), 422-423 (English) 2000. The authors present results on electronic structure, lattice consts., and bulk moduli calcd. in the framework of LDA and GGA approxns. in comparison with exptl. data.

---

2000

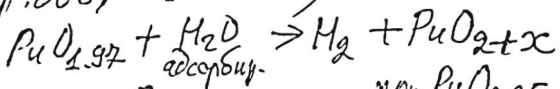
 $\text{PuO}_{2+x}$ 

Häschke J.M., Allen T.H., Mord les L.A.

Science, 2000, v. 287, p. 285-287

Reaction of  $\text{PuO}_2$  with water: formation  
and properties of  $\text{PuO}_2^+$

(cp. 668, 669 Kruck!)



параметр  
перехода 5,3975 Å

cpm  $\text{PuO}_{2.25}$  und  $\text{PuO}_{2.27}$ .

5.405

$\text{PuO}_{2,27}$

2000

Haschke J.M., Allen H., Morales L.A.

Science, 2000г., v.287, p. 285-287

[ $\text{PuO}_{2,27}$  есть более термодинамич. устойчивый оксид  $\text{PuO}_{2+x}$ , чем  $\text{PuO}_2$ ]

F: PuO<sub>2</sub><sup>+</sup>

P: 1

133:140584      Theoretical Studies of the Properties and  
Solution Chemistry of AnO<sub>2</sub><sup>2+</sup> and AnO<sub>2</sub><sup>+</sup> Aquo Complexes  
for An = U, Np, and Pu.      Hay, P. Jeffrey; Martin,  
Richard L.; Schreckenbach, Georg      Theoretical  
Division, Los Alamos National Laboratory      Los Alamos,  
NM 87545, USA      J. Phys. Chem. A, 104(26), 6259-6270  
(English) 2000.      The structures and vibrational  
frequencies of UO<sub>2</sub>(H<sub>2</sub>O)<sub>5</sub><sup>2+</sup>, NpO<sub>2</sub>(H<sub>2</sub>O)<sub>5</sub><sup>2+</sup>, and  
PuO<sub>2</sub>(H<sub>2</sub>O)<sub>5</sub><sup>2+</sup> corresponding to An(VI) oxidn. states and  
UO<sub>2</sub>(H<sub>2</sub>O)<sub>5</sub><sup>+</sup>, NpO<sub>2</sub>(H<sub>2</sub>O)<sub>5</sub><sup>+</sup>, and PuO<sub>2</sub>(H<sub>2</sub>O)<sub>5</sub><sup>+</sup> corresponding  
to An(V) have been calcd. using d. functional theory  
(DFT) and relativistic effective core potentials  
(RECPs). The resulting structures are compared to EXAFS  
soln. studies, and the Raman and IR vibrational  
frequencies of the actinyl unit are compared to exptl.  
studies in soln. Free energies for reactions in soln.

2000

are computed by combining thermodn. free energies in the gas phase with a dielec. continuum model to treat solvent effects. The hydrolysis reaction of  $\text{UO}_2(\text{H}_2\text{O})_{52+}$  to form  $\text{UO}_2(\text{H}_2\text{O})_4(\text{OH})^+$  and the reactions for removing or adding a water to the first shell in  $\text{UO}_2(\text{H}_2\text{O})_{52+}$  are examd. using this approach. Multiplet and spin-orbit effects not included in a single-configuration DFT wave function are incorporated by model spin-orbit CI calcns.  $\text{PuO}_2\text{q}^+$  is used as a model for the aqua complexes in a weak ligand field for the cases  $q = 3$  (5f1 configuration),  $q = 2$  (5f2) and  $q = 1$  (5f3). The inclusion of these effects results in a different ground state for  $\text{NpO}_2(\text{H}_2\text{O})_{52+}$  and  $\text{PuO}_2(\text{H}_2\text{O})_{52+}$  than that obtained in the original DFT calcns. The redn. potentials for all three  $\text{AnO}_2(\text{H}_2\text{O})_{52+}$  complexes in soln. is compared with electrochem. exptl. data. The trend for the redn. potentials  $\text{NpO}_2(\text{H}_2\text{O})_{52+} > \text{PuO}_2(\text{H}_2\text{O})_{52+} > \text{UO}_2(\text{H}_2\text{O})_{52+}$  is found in agreement with expt., when multiplet and spin-orbit corrections are included, although the abs. redn. potentials are overestimated in all three cases. The possible reasons for this overestimate are examd. using all-electron calcns. using the ADF method.

$\text{PuO}_2$

$\text{PuO}_{2.27}$  Jacoby Mitch

2000

Heavyweight  $\text{PuO}_2$  loses stability  
title. etc., Chemical and Engineering  
News, 2000, v. 78, N3, p. 13  
(edit u/k!)

, Heavy Weight PuO<sub>2</sub> loses stability  
title =



PuO<sub>2</sub>

[Om. 40302 ]

2000

Kazuhiko Yamada, Ken Kuro-  
saki et al.,

G.  
Yamada

J. of Alloys and Compounds  
2000, 307, 1-9.

Evaluation  
Properties

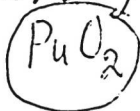
of thermal  
mixed oxide

fuel by molecular dynamics.



Transuranic  
dioxides

2900



( $C_p$ )

134: 106540b An examination of the estimation method for the specific heat of TRU dioxides: evaluation with PuO2. Serizawa, Hirayuki; Arai, Yasuo (Department of Nuclear Energy Systems, Advanced Fuel Laboratory, Japan Atomic Energy Research Institute, Oarai-machi, Japan 311-1394). *J. Alloys Compd.* 2000, 312(1-2), 257-264 (Eng), Elsevier Science S.A. An estn. method for the sp. heat,  $C_p$ , for the dioxides of the transuranic elements is presented.  $C_p$  was evaluated as a sum of three terms, contributions of phonon vibration,  $C_{ph}$ , dilation,  $C_d$ , and Schottky sp. heat,  $C_s$ .  $C_{ph}$  and  $C_d$  were calcd. using the Debye temp. and Gruneisen const. obtained by high-temp. X-ray diffractometry. The method was applied to PuO2. The estd.  $C_p$  was in good accordance with the reported one measured using a calorimeter. The error in the estn. was small compared to that which arises from using the conventional method based on  $C_p(298)$  and the melting temp.

⑦  $\times$

C.A. 2001, 134, N8



PuO2

PuO<sub>2</sub>

2000

133: 140603p Simultaneous determination of X-ray Debye temperature and Gruneisen constant for actinide dioxides: PuO<sub>2</sub> and ThO<sub>2</sub>. Serizawa, H.; Arai, Y.; Suzuki, Y. (Advanced Fuel Group, Department of Nuclear Energy System, Japan Atomic Energy Research Institute, Higashi Ibaraki-gun, Oarai-machi, Narita-cho, Ibaraki-ken, Japan 311-1394). *J. Nucl. Mater.* 2000, 280(1), 99-105 (Eng), Elsevier Science B.V. The lattice vibrations of PuO<sub>2</sub> and ThO<sub>2</sub> were examd. between room temp. and 1274 K using a high temp. x-ray diffractometer. The temp. factors for the metal atom,  $B_{Pu}$  and  $B_{Th}$  in the dioxides were evaluated by the Rietveld anal. Debye temp. was calcd. using the temp. factor. The Debye temp. decreased with increasing temp. From the temp. dependence of the Debye temp., the Gruneisen consts. were evaluated to be 1.62 for PuO<sub>2</sub> and 1.51 for ThO<sub>2</sub>. The Debye temps. modified for the thermal expansion of PuO<sub>2</sub> and ThO<sub>2</sub> were 429 and 463 K, resp.

(θθ)



θ ThO<sub>2</sub>



C.H. 2000, 133, NFO

$PuD_2$   $T_m \approx$  CanBajo J.J. et al. 2001

$= 2701 \pm 35 K$ . Nucl. Mater., 2001, v. 299, p. 181  
(recommendation)

$PuO_2$

[Om. 41213]

[2001 CAR/Y02]

[2001]

Carbajo J.J., Yoder G.L., Popov S.G.,

Ivanov V.K. J. Nucl. Mater., 2001, v.299,  
pp. 181 - 198

Gp,  
oszop

[Oszop Teknologiz. cb-b MOX u  $21O_2$ -ton. sub,  
Takue  $PuO_2$ ]

PuZ

[Om. 41213]

2001

Yuan J. Catbajo et al.,

( $p, \bar{s} \pi^0$ ) J. Nucl. Mater., 2001,  
299, 181-198. Os<sub>30</sub>p?

чр. 186 — 191

Короткокрылова заново 6 сн. (чр. 181—198)

$\text{PuO}_2$  (am,hydr) [2001 FU & YAM]

2001

Fujisawa K, Yamana H, Fujii T;

Moriyama H.

"Solubility product of plutonium  
hydrous oxide"

Nucl., Fuel Cycle Environ,

2001, 17-23.

PuO<sub>2</sub>

[2001 HAS/FIZZ]

2001

Haschke Y.H., Allen T.H.,  
Morales L.A.

"Reaction of plutonium dioxide  
with water and hydrogen-oxygen  
mixtures: Mechanisms for  
corrosion of uranium and plutonium  
Alloys." Comptd. 2001, 314, 78-91.  
pp.

2001

$\frac{\text{PuO}_2+x}{\text{PuO}_2}$ ; [2001 HAS/ALEL]

PuO<sub>2</sub> + O<sub>2</sub>: Haschke J.W., Allen T.H., Morales L.A.,  
Reactions of plutonium dioxide with water  
and mixtures H<sub>2</sub>-O<sub>2</sub>: Mechanisms for  
corrosion of U and Pu.

J. Alloys Compd., 2001, v. 314, p. 78-91

[Ch.Th. Actinides, Tom 5, cmp. 876]

2001

F: PuO<sub>2</sub>

P: 1

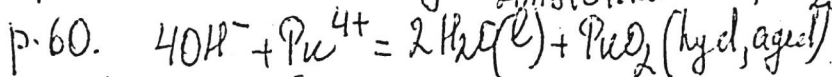
135:10495 Molecular dynamics study of mixed oxide fuel.  
Kurosaki, Ken; Yamada, Kazuhiro; Uno, Masayoshi; Yamanaka,  
Shinsuke; Yamamoto, Kazuya; Namekawa, Takashi. Department  
of Nuclear Engineering, Graduate School of Engineering, Osaka  
University, Suita, Japan. J. Nucl. Mater. (2001), 294(1,2), 160-  
167. in English.

In order to develop new techniques to calc. the  
physicochem. properties of MOX fuel, mol. dynamics methods

were applied to UO<sub>2</sub>, PuO<sub>2</sub>, and (U,Pu)O<sub>2</sub>. These methods enabled us to obtain the heat capacity and thermal cond. from basic properties, viz., the lattice parameter, linear thermal expansion coeff., and compressibility. Results for UO<sub>2</sub> showed both the existence of a Bredig transition and a peak in the heat capacity at high temp. The lattice parameter, heat capacity, and thermal cond. of MOX fuel were calcd. from basic properties of UO<sub>2</sub> and PuO<sub>2</sub>. These results showed that mol. dynamics techniques can be usefully applied to det. physicochem. properties of MOX fuel.

$\text{PuO}_2$  (hyd, aged) Zemre R.J. et al. 1991

Chemical Thermodynamics of Np and Pu.  
Amsterdamaal, Elsevier  
2001



$$\log_{10} k^0 = (58,000 \pm 1,000)$$

$$\Delta_r G^\circ_{298} = (-331,066 \pm 5,708) \text{ kJ mol}^{-1}$$

$\text{PuO}_2(\text{cr})$

$\Delta_f G^\circ_{233}$

$\text{Pu}^{4+}$

$\Delta_f G^\circ_{255}$

$(\text{PuO}_2)_3(\text{O}_3)_6^{6-}$

[2001ZEM/FUG]

2001

Lemire R.J., Fuger J., Nitsche H,  
Gofter P.E., Rand M.H., Rydberg T.;  
Spathiu K., Sullivan M.C., Ullman W.H.,  
Vitorek P., Wagner H.

"Chemical Thermodynamics of  
Neptunium and Plutonium",  
Nuclear Energy Agency Data Bank,  
Organization for Economic Co-operation,  
Development, Ed, vol. 4. "Chemical  
Thermodynamics", North Holland Elsevier  
(am. w)

Science Publishers BV Amsterdam  
The Netherlands (2001)

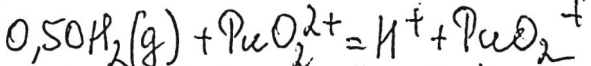
$\text{PuO}_2^+$

Lemire R.Y. et al.

2001

Chemical Thermodynamics of Np and Pu  
Amstelveld et al., Elsevier, 2001

p. 60



$$\log K^\circ = (15,819 \pm 0,090)$$

$$\Delta_r G_{298}^\circ = (-50,293 \pm 0,515) \text{ kJ mol}^{-1}$$

$$\Delta_r H_{298}^\circ = (-88,091 \pm 6,016) \text{ kJ mol}^{-1}$$

$$\Delta_r S_{298}^\circ = (7,386 \pm 20,285) \text{ J K}^{-1} \text{ mol}^{-1}$$

$\text{PuO}_2$   
(cr)

Lemire R.F. et al.

2001

Chem. Thermodynamics of Mp and Pu  
p. 55. Amsterdam, Elsevier, 2001.

$$\Delta_f G_{298}^{\circ} = (-938,113 \pm 1,031) \text{ kJ mol}^{-1}$$

$$\Delta_f H_{298}^{\circ} = (-1055,850 \pm 1,000) \text{ kJ mol}^{-1}$$

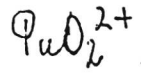
$$S_{298}^{\circ} = (66,130 \pm 0,260) \text{ J K}^{-1} \text{ mol}^{-1}$$

$$C_p^{\circ} = (66,250 \pm 0,260) \text{ J K}^{-1} \text{ mol}^{-1}$$

$\text{PuO}_2$ (hyd, aged) Lemire R.Y et al. 2001

Chem. Thermodynamics of Np and Pu  
p. 55. Amsterdam ~~et al.~~, Elsevier. 2001

$$\Delta_f G_{298}^{\circ} = -963,654 \text{ kJ/mol}^{-1}$$



Lemire R.Y. et al.

2001

Chem. Thermodynamics of Np and Pu  
p 55. Amsterdam et al. Elsevier, 2001

$$\Delta_f G^{\circ}_{298} = (-762,353 \pm 2,82) \text{ kJ mol}^{-1}$$

$$\Delta_f H^{\circ}_{298} = (-822,036 \pm 6,574) \text{ kJ mol}^{-1}$$

$$\Delta_f S^{\circ}_{298} = (-71,946 \pm 22,120) \text{ J K}^{-1} \text{ mol}^{-1}$$

$\text{PuO}_2^+$

Yemire R.Y et al.

2001

Chem. Thermodynamics of Np and Pu.

p. 55. Amsterdam et al. Elsevier, 2001

$$\Delta_f G_{298}^\circ = (-852,646 \pm 2,268) \text{ kJ mol}^{-1}$$

$$\Delta_f H_{298}^\circ = (-910,124 \pm 8,920) \text{ kJ mol}^{-1}$$

$$\Delta_f S_{298}^\circ = (1,480 \pm 30,013) \text{ J K}^{-1} \text{ mol}^{-1}$$

PuO<sub>2</sub>

2001

nonhydrous

chem. chg

135: 82166b A hybrid-density functional cluster study of the bulk and surface electronic structures of PuO<sub>2</sub>. Wu, X.; Ray, A. K. (Department of Physics, University of Texas at Arlington, Arlington, TX 76019 USA). *Physica B (Amsterdam, Neth.)* 2001, 301(3&4), 359–369 (Eng), Elsevier Science B.V. A hybrid d. functional theory B3LYP (Becke's three-parameter exchange functional and the correlation functional of Lee, Yang and Parr) with relativistic effective core potentials was applied to investigate the electronic structures of both the bulk and surfaces of PuO<sub>2</sub>. The bulk and the selected surfaces were represented by a set of mol. clusters embedded in large arrays of point charges to simulate the crystal environment. The HOMO-LUMO gaps and the d. of states of the clusters support the general belief that PuO<sub>2</sub> is a semiconductor. The chem. bonding is found to be mostly ionic.

C. S. 2001, 135, 16

Pu.D.

10m. 41280

2002

Colarieti - Tosti M.,  
Eriksson O. et al.,

T<sub>t2</sub>,  
massuth. Phys. CW, 2002, 65 B,  
CB-RK  
195102-1 — 195102-7

$\text{PuO}_{2+x}$

( $0 < x < 0.25$ )

[2002 HAS/AZX]

2002

Haschke F. M., Allen T. H.

"Equilibrium and thermodynamic properties of the  $\text{PuO}_{2+x}$ , solid solution" F. Alloys. Compd. 2002, 336; p. 124-31

PuO<sub>2</sub>

2002

Itaschke J.U., Allen T.H.

Equilibrium and thermodynamic  
properties of the PuO<sub>2+x</sub> solid  
solution // Journal of Alloys  
and Compounds, 336 (2002)

Kaptova T.B. Bezhuk



p. 124-131

$\text{PuO}_2(\text{am})$  [2002 RAT/GOR] 2002

Rai D., Gorby Y. A., Fredrickson J. K.,  
Moore D. A., Yui M.

"Reductive dissolution of  $\text{PuO}_2(\text{am})$   
The effect of  $\text{Fe}^{(II)}$  and hydroquinone"  
J. Solution Chem. 2002, 31, 433-53.

PuO<sub>2+x</sub>

[Om. 41732]

2003

Steven D. Conradson  
et al.,

Inorg. Chem. 2003, 42,  
3715-3717.

speciation and ● unusual Reac-

tivity in  $\text{Pd}_{2+x}$ .



Righini P., Matsumoto T.  
J. Int. Thermophys., 2005, 26, 941 cop.

2005

Kato M. et al.

2008

J. Alloys. Compd., 2008, (152), 46 -

Aluragi определена  $T_m$  ( $PuO_2$ ) на  $\sim 200$  барах  
премежах,

$\text{PuO}_2$

$T_m \approx 2840\text{K}$

Kato M. et al.

2008

J. Nucl. Mater., 2008, v. 373, p. 237

Лазаркевич Нарек, В-srcuva

---

J. Alloys Compd., 2008, v. 452, p. 46